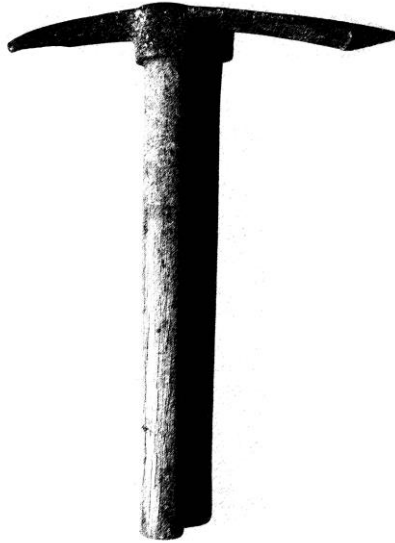


PROYECTO ARQUEOLÓGICO EL TINTAL
INFORME No. 6: RESULTADOS DE LA SEXTA
TEMPORADA DE INVESTIGACIÓN, 2019



ANEXO MAPAS

Editado por

Mary Jane Acuña y Varinia Matute

INFORME ENTREGADO A LA DIRECCIÓN GENERAL DEL
PATRIMONIO CULTURAL Y NATURAL DE GUATEMALA

Guatemala, 2020



PROYECTO ARQUEOLÓGICO EL TINTAL
INFORME No. 6: RESULTADOS DE LA SEXTA
TEMPORADA DE INVESTIGACIÓN, 2019

ANEXO MAPAS

Informe entregado a la
DIRECCIÓN GENERAL DEL PATRIMONIO
CULTURAL Y NATURAL DE GUATEMALA

Editoras

Mary Jane Acuña
Varinia Matute

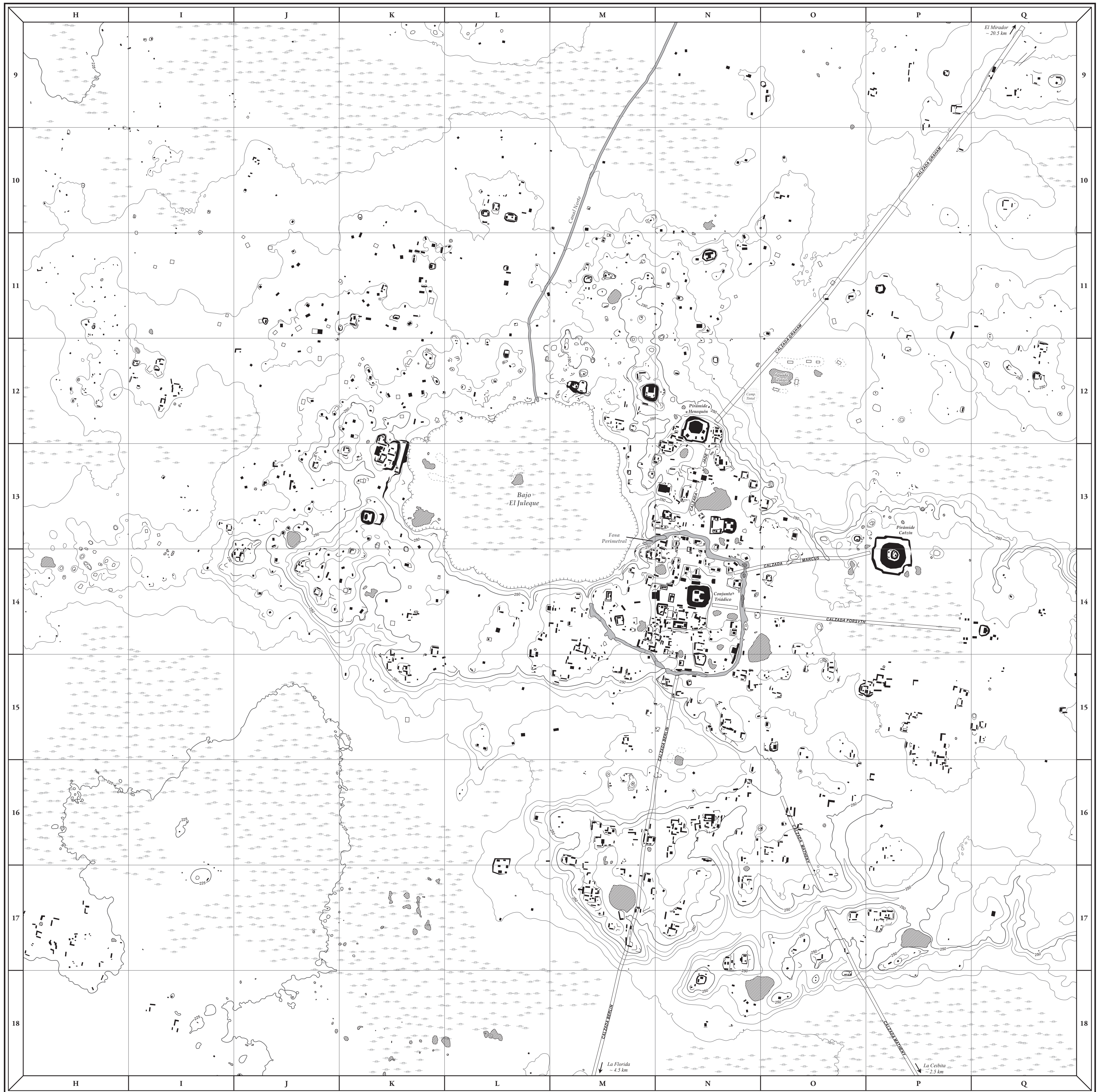
DIRECTORAS

Mary Jane Acuña y Varinia Matute

PERSONAL TÉCNICO-PROFESIONAL

Silvia J. Alvarado
María Antonieta Cajas
Francisco Castañeda
Carlos R. Chiriboga
Julio Cotom-Nimatuj
Carlos González
Leonel Hernández
Jason S.R. Paling
Henry Pérez
Martin Rangel
Ricardo Rodas

Guatemala de la Asunción
Mayo, 2020



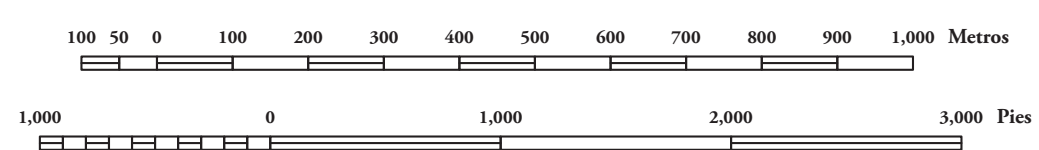
Preparado por C. R. Chiriboga con base en trabajos de mapeo topográfico y reconocimiento arqueológico por Tsesmeli (2014) y Chiriboga (2015-2019); y análisis de modelo de elevación digital (DEM) LIDAR y derivados por Chiriboga (2017-2020).

Coordenadas Geográficas:
Conjunto Triádico, Estructura Este (14N-11B)
Lat. 17°34'18.57" N Long. 89°59'54.75" W

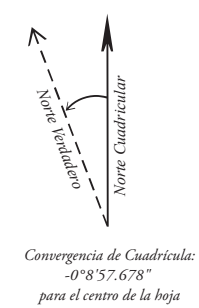
Datos LIDAR cortesía de la Iniciativa LiDAR Pacunam (PLI), generados por NCALM.

SIMBOLOGÍA

Estructuras		Curvas Índice	
Rasgo Hidráulico/Defensivo		Curvas Intermedias	
Reservorios		Curvas de Depresión	
Bajo			



INTERVALO DE CURVAS 25 METROS
CURVAS INTERMEDIAS CADA 5 METROS



Convergencia de Cuadrícula:
49'8"52.678"
para el centro de la hoja

Índice Hojas 1:2,000

	H	I	J	K	L	M	N	O	P	Q
9	1	2	3	4	5					
10	6	7	8	9	10					
11	11	12	13	14	15					
12	16	17	18	19	20					
13	21	22	23	24	25					
14										
15										
16										
17										
18										

Proyecto Arqueológico

El Tintal

Directoras: Mary Jane Acuña
Varinia Matute

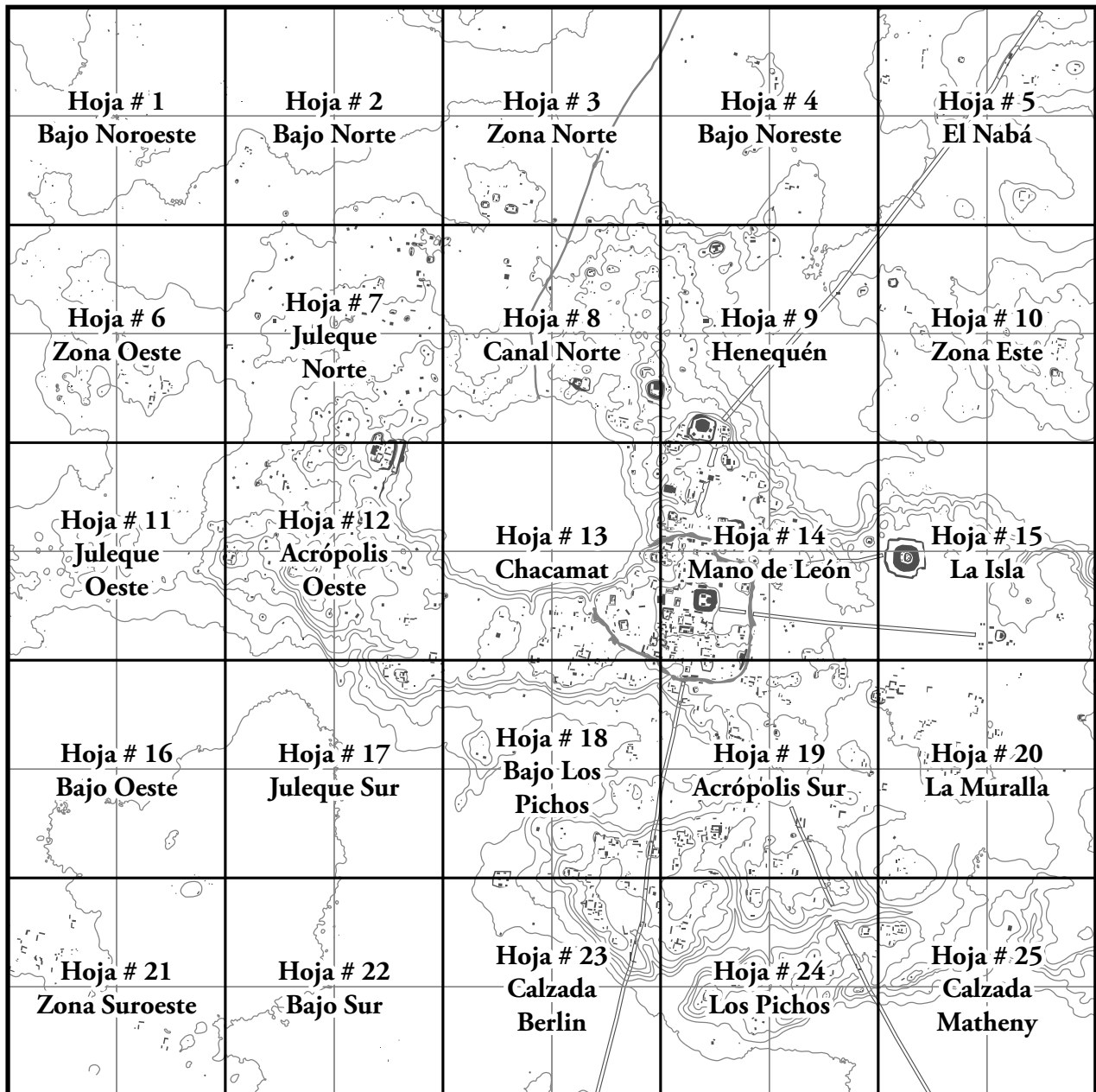
PAET, 2020
rev. 1.2 02/2021
MesoWeb.com

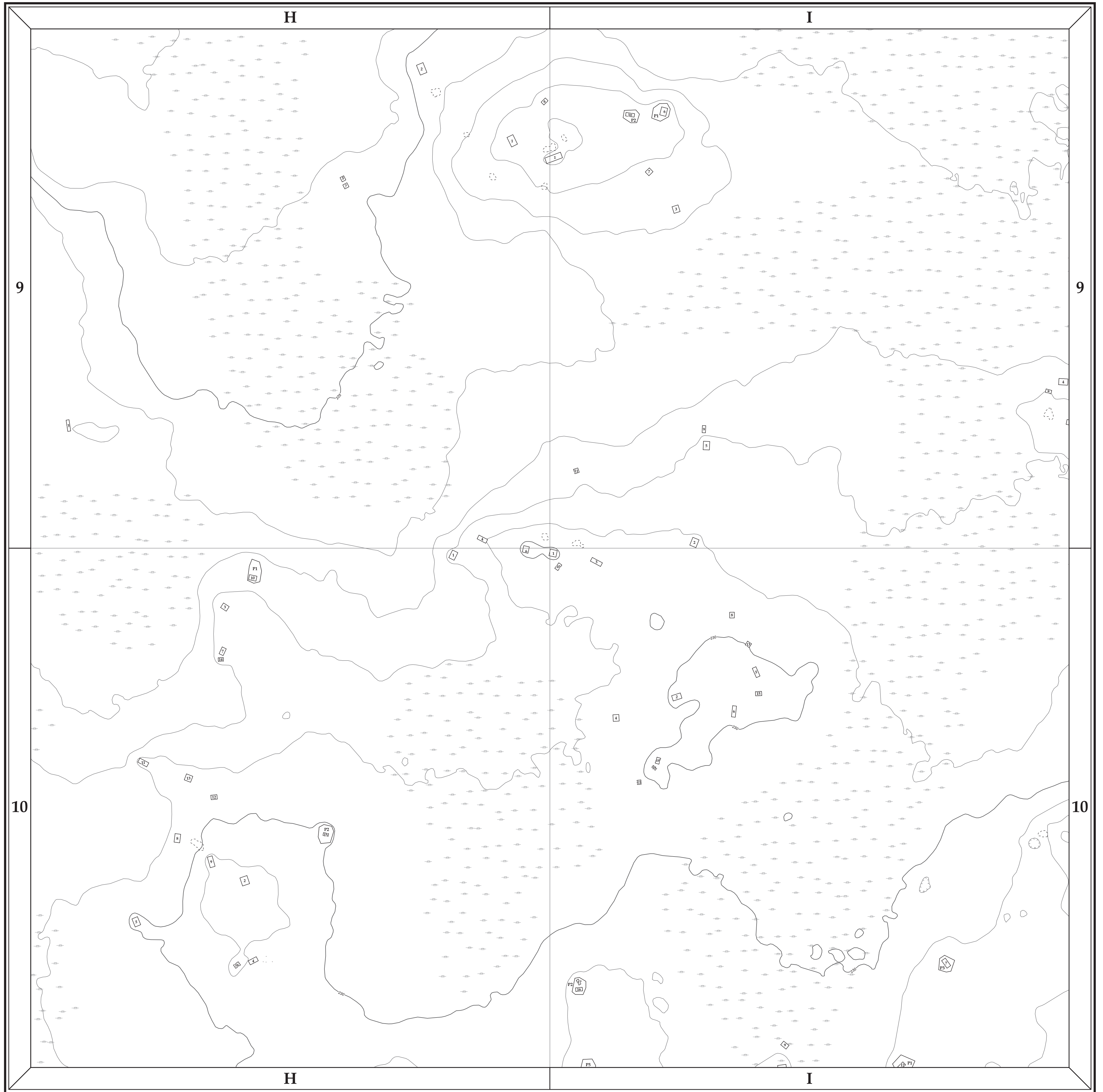
Índice

Mapa del Sitio Arqueológico El Tintal

Escala 1 : 2,000

(hacer clic sobre hoja que desee visualizar)



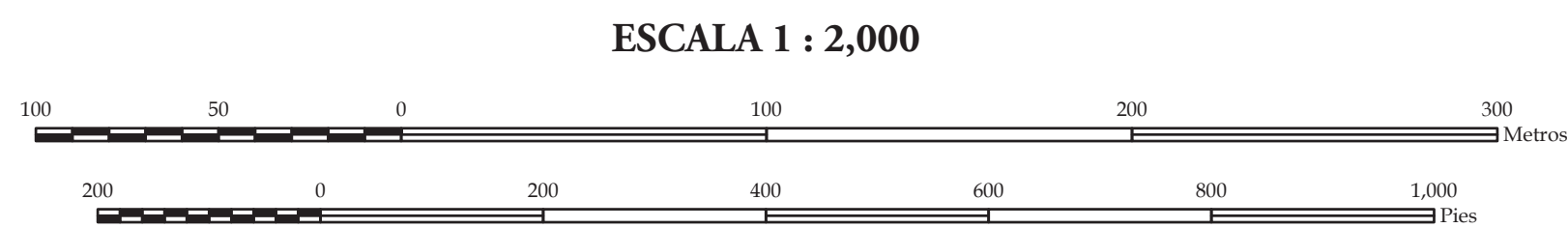


Preparado por C. R. Chiriboga con base en trabajos de mapeo topográfico y reconocimiento arqueológico por Iesemeli (2014) y Chiriboga (2015-2019); y análisis de modelo de elevación digital (DEM) LiDAR y derivados por Chiriboga (2017-2020).

Datos LiDAR cortesía de la Iniciativa LiDAR Pacunam (PLD), generados por NCALM.

SIMBOLOGÍA

Estructura Moderna	Depresión/Cantera
Estructuras	Bajo
Chultun	Rasgo Hidráulico/Defensivo
Banco de Marca	Curva Índice
Reservorio	Curva Intermedia
Área Inundable	Curva Depresión



INTERVALO DE CURVAS 5 METROS
CURVAS INTERMEDIAS CADA 1 METROS



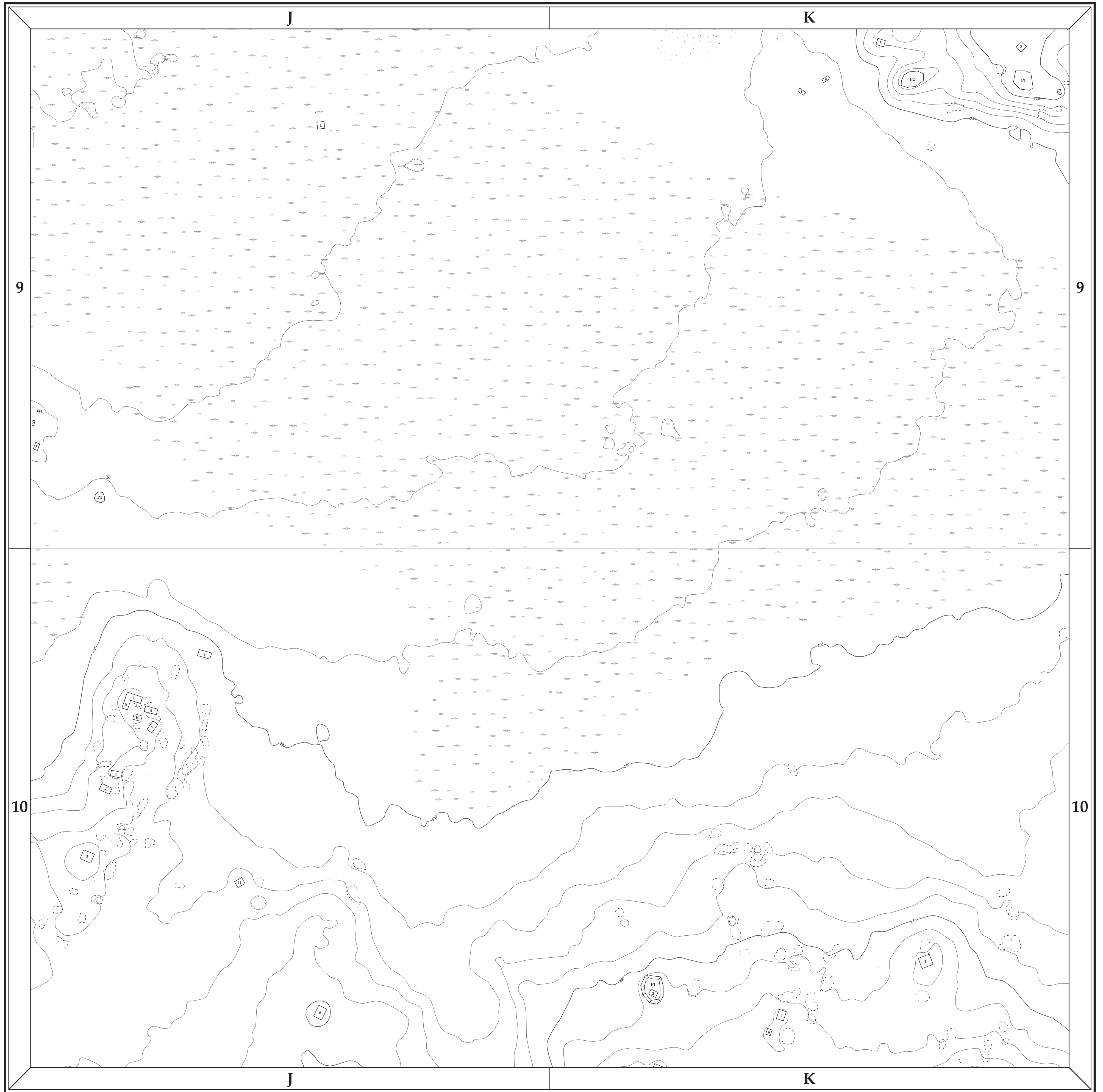
Convergencia de Cuadrícula:
-0.14.6823"
para el centro de la hoja

Ubicación de Hoja:

1	2	3	4	5
6	7	8	9	10
11	12	13	14	15
16	17	18	19	20
21	22	23	24	25

Serie 1 : 2,000
Hoja # 1

PAET, 2020
ver. 1.2 02/2021
Meoweb.com

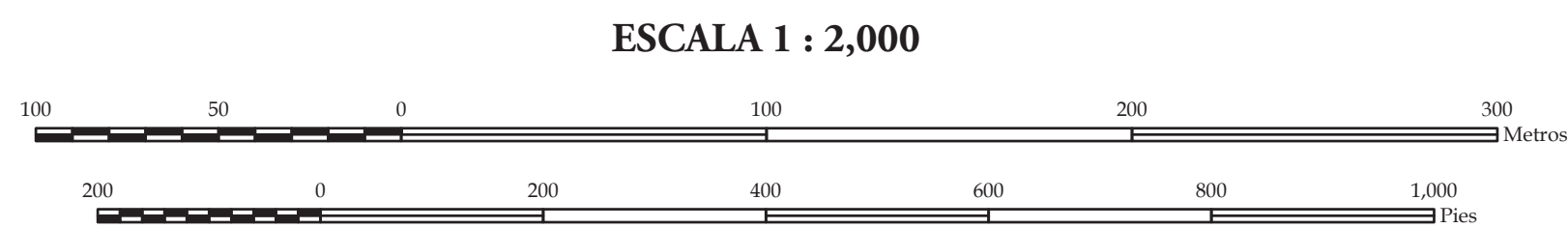


Preparado por C. R. Chiriboga con base en trabajos de mapeo topográfico y reconocimiento arqueológico por Iesmeli (2014) y Chiriboga (2015-2019); y análisis de modelo de elevación digital (DEM) LiDAR y derivados por Chiriboga (2017-2020).

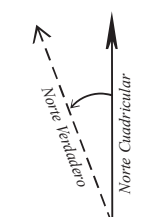
Datos LiDAR cortesía de la Iniciativa LiDAR Pacunam (PLD), generados por NCALM.

SIMBOLOGÍA

Estructura Moderna	Depresión/Cantera
Estructuras	Bajo
Chultun	Rasgo Hidráulico/Defensivo
Banco de Marca	Curva Índice
Reservorio	Curva Intermedia
Área Inundable	Curva Depresión



INTERVALO DE CURVAS 5 METROS
CURVAS INTERMEDIAS CADA 1 METROS



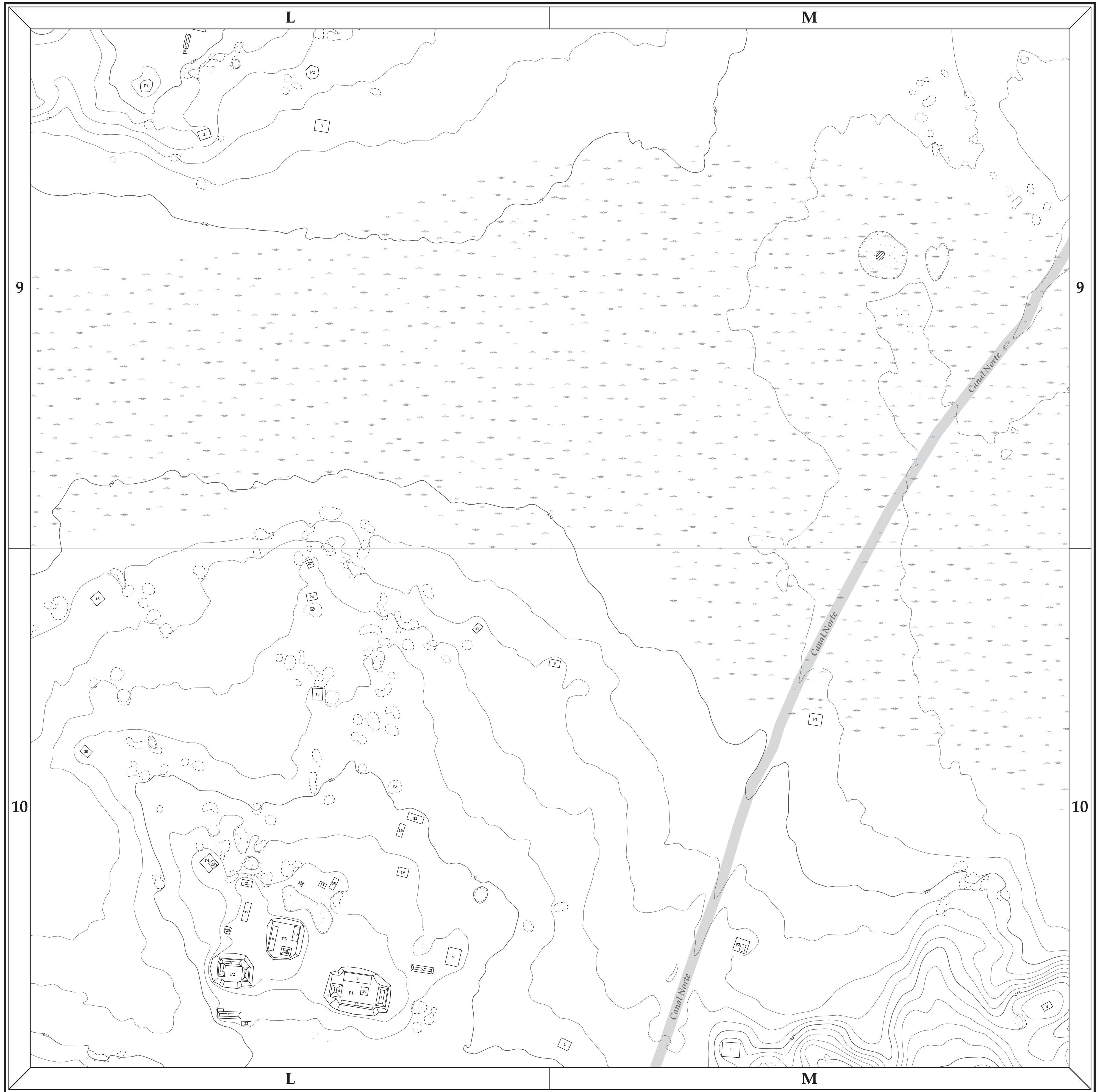
Convergencia de Cuadrícula:
-0.146671"
para el centro de la hoja

Ubicación de Hoja:

1	2	3	4	5
6	7	8	9	10
11	12	13	14	15
16	17	18	19	20
21	22	23	24	25

Serie 1 : 2,000
Hoja # 2

PAET, 2020
ver. 1.2 02/2021
Meoweb.com

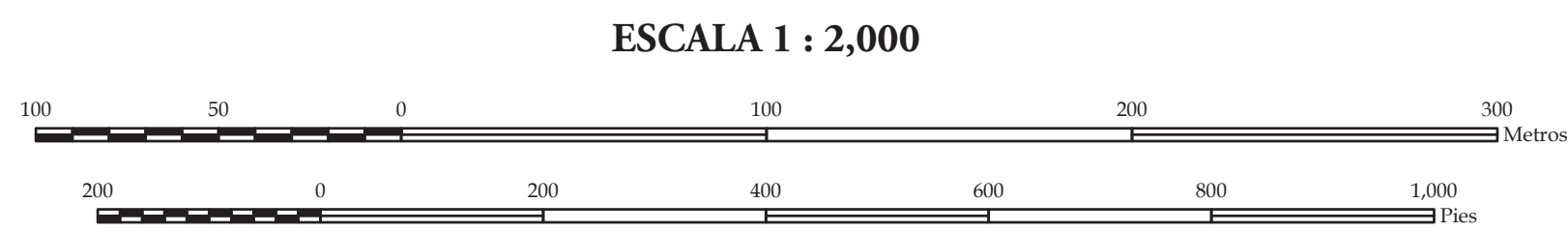


Preparado por C. R. Chiriboga con base en trabajos de mapeo topográfico y reconocimiento arqueológico por Iesemeli (2014) y Chiriboga (2015-2019); y análisis de modelo de elevación digital (DEM) LiDAR y derivados por Chiriboga (2017-2020).

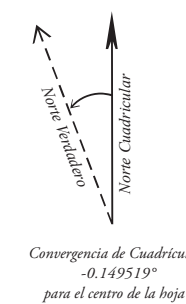
Datos LiDAR cortesía de la Iniciativa LiDAR Pacunam (PLD), generados por NCALM.

SIMBOLOGÍA

Estructura Moderna	Depresión/Cantera
Estructuras	Bajo
Chultun	Rasgo Hidráulico/Defensivo
Banco de Marca	Curva Índice
Reservorio	Curva Intermedia
Área Inundable	Curva Depresión



INTERVALO DE CURVAS 5 METROS
CURVAS INTERMEDIAS CADA 1 METROS



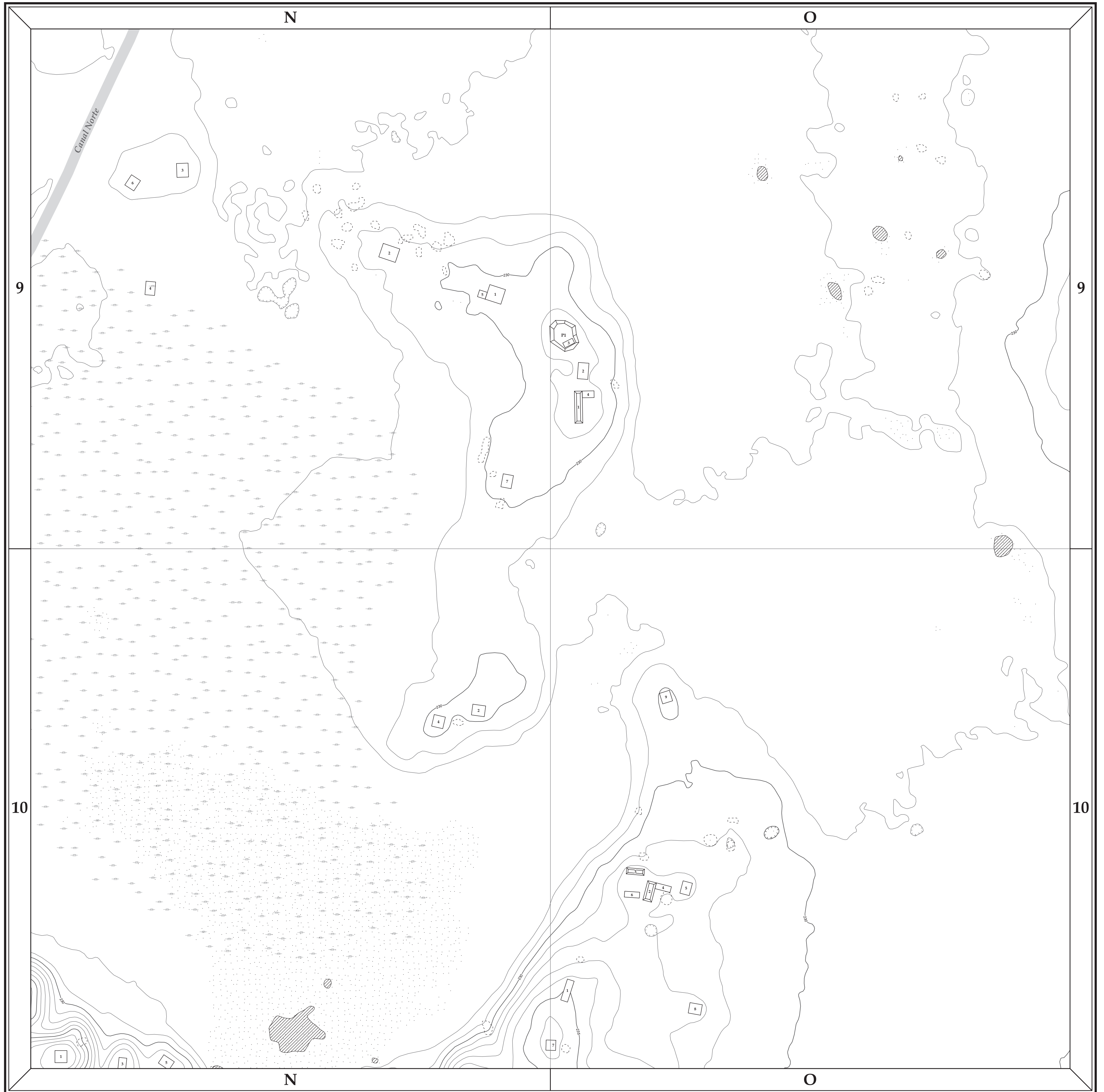
Convergencia de Cuadrícula:
-01.44919°
para el centro de la hoja

Ubicación de Hoja:

1	2	3	4	5
6	7	8	9	10
11	12	13	14	15
16	17	18	19	20
21	22	23	24	25

Serie 1 : 2,000
Hoja # 3

PAET, 2020
ver. 1.2 02/2021
Meoweb.com

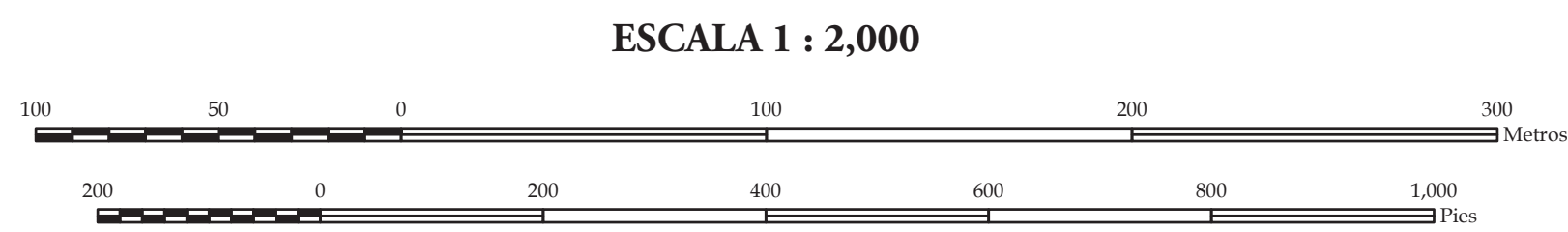


Preparado por C. R. Chiriboga con base en trabajos de mapeo topográfico y reconocimiento arqueológico por Iesemeli (2014) y Chiriboga (2015-2019); y análisis de modelo de elevación digital (DEM) LiDAR y derivados por Chiriboga (2017-2020).

Datos LiDAR cortesía de la Iniciativa LiDAR Pacunam (PLD), generados por NCAIM.

SIMBOLOGÍA

Estructura Moderna	Depresión/Cantera
Estructuras	Bajo
Chultun	Rasgo Hidráulico/Defensivo
Banco de Marca	Curva Índice
Reservorio	Curva Intermedia
Área Inundable	Curva Depresión



INTERVALO DE CURVAS 5 METROS
CURVAS INTERMEDIAS CADA 1 METROS

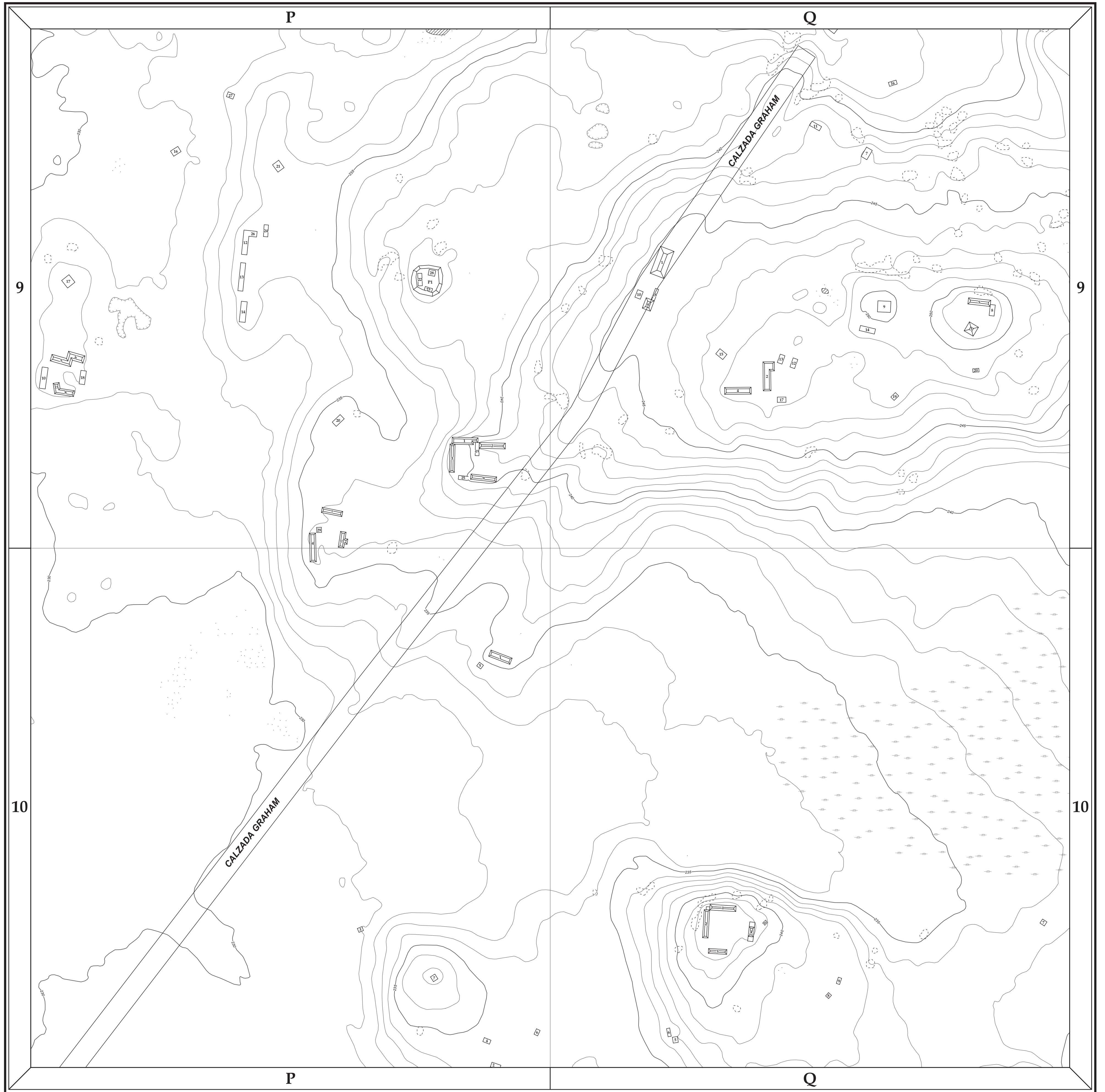


Ubicación de Hoja:

1	2	3	4	5
6	7	8	9	10
11	12	13	14	15
16	17	18	19	20
21	22	23	24	25

Serie 1 : 2,000
Hoja # 4

PAET, 2020
ver. 1.2 02/2021
Meoweb.com



Preparado por C. R. Chiriboga con base en trabajos de mapeo topográfico y reconocimiento arqueológico por Iesemeli (2014) y Chiriboga (2015-2019); y análisis de modelo de elevación digital (DEM) LiDAR y derivados por Chiriboga (2017-2020).

Datos LiDAR cortesía de la Iniciativa LiDAR Pacunam (PLD), generados por NCAIM.

SIMBOLOGÍA

Estructura Moderna	Depresión/Cantera
Estructuras	Bajo
Chultun	Rasgo Hidráulico/Defensivo
Banco de Marca	Curva Índice
Reservorio	Curva Intermedia
Área Inundable	Curva Depresión



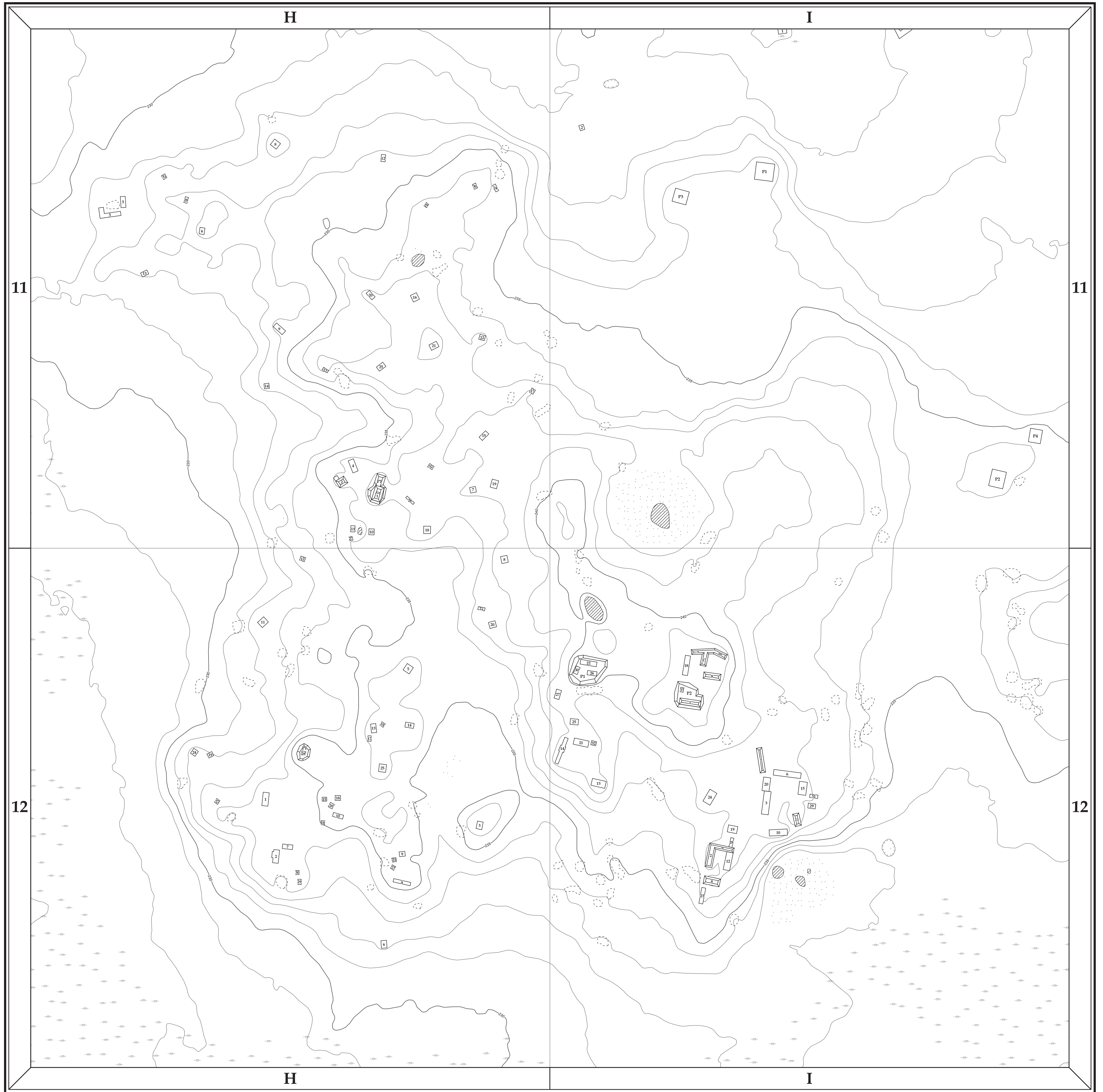
Convergencia de Cuadrícula:
 -0.155214°
 para el centro de la hoja

Ubicación de Hoja:

1	2	3	4	5
6	7	8	9	10
11	12	13	14	15
16	17	18	19	20
21	22	23	24	25

Serie 1 : 2,000
Hoja # 5

PAET, 2020
 ver. 1.2 02/2021
 Meoweb.com

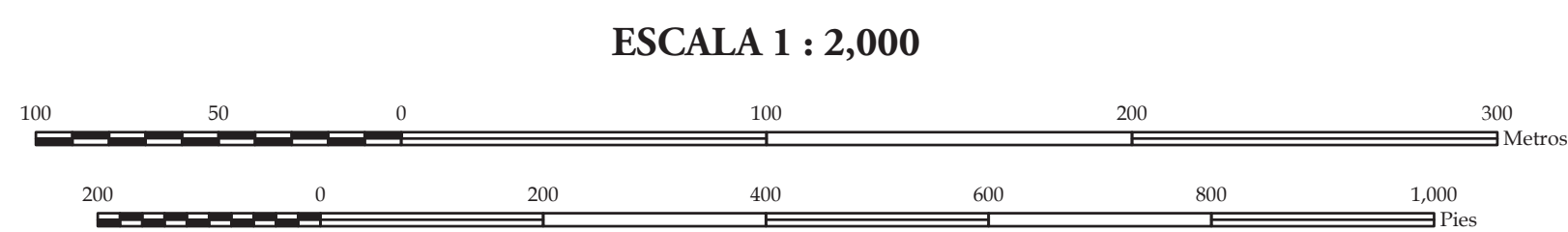


Preparado por C. R. Chiriboga con base en trabajos de mapeo topográfico y reconocimiento arqueológico por Iesemeli (2014) y Chiriboga (2015-2019); y análisis de modelo de elevación digital (DEM) LiDAR y derivados por Chiriboga (2017-2020).

Datos LiDAR cortesía de la Iniciativa LiDAR Pacunam (PLD), generados por NCAIM.

SIMBOLOGÍA

Estructura Moderna	Depresión/Cantera
Estructuras	Bajo
Chultun	Rasgo Hidráulico/Defensivo
Banco de Marca	Curva Índice
Reservorio	Curva Intermedia
Área Inundable	Curva Depresión



INTERVALO DE CURVAS 5 METROS
CURVAS INTERMEDIAS CADA 1 METROS

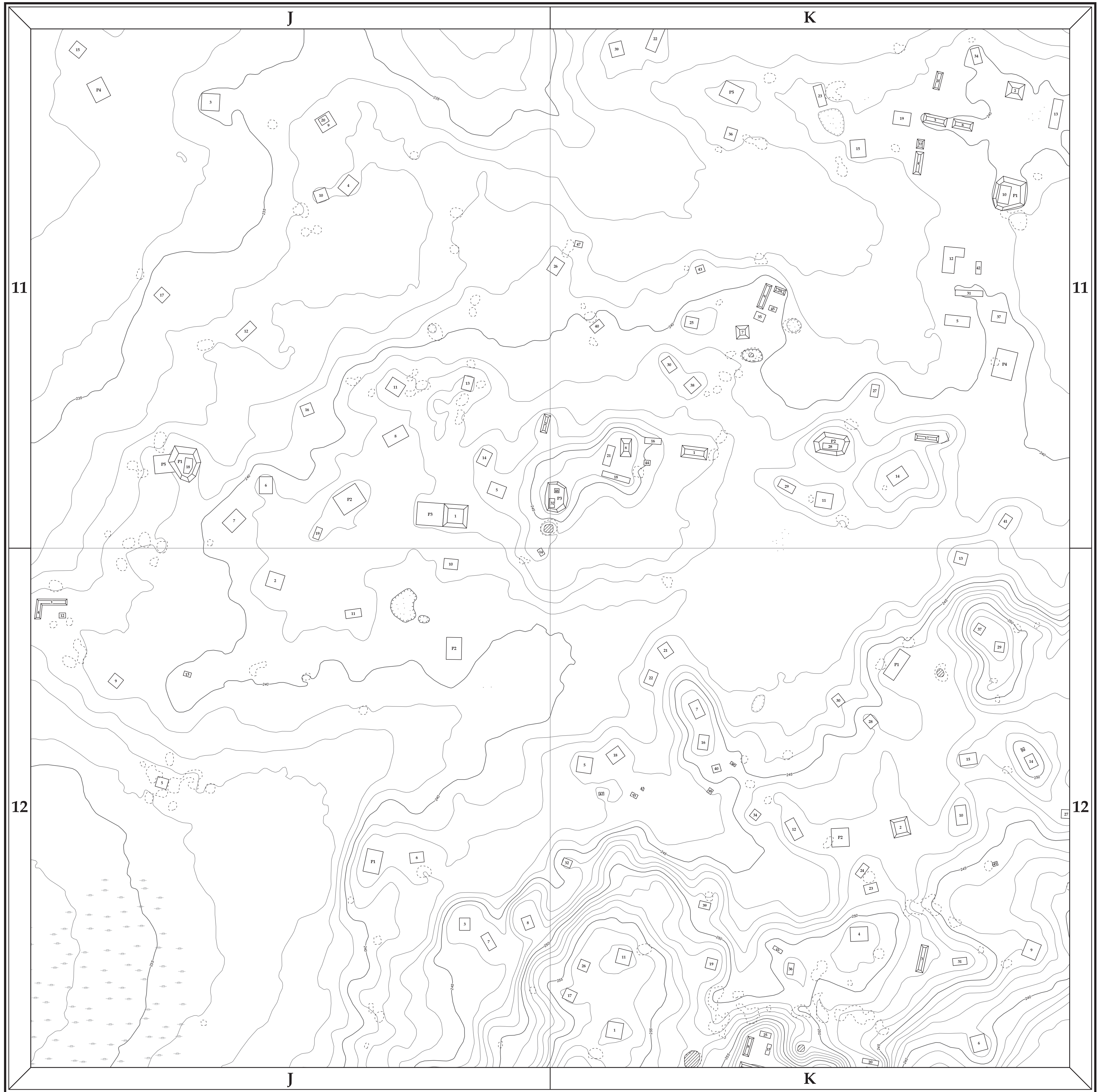


Ubicación de Hoja:

1	2	3	4	5
6	7	8	9	10
11	12	13	14	15
16	17	18	19	20
21	22	23	24	25

Serie 1 : 2,000
Hoja # 6

PAET, 2020
ver. 1.2 02/2021
Meoweb.com

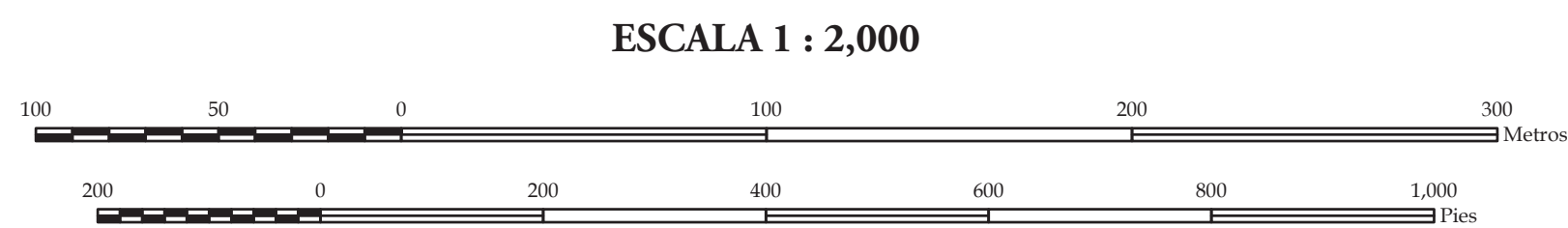


Preparado por C. R. Chiriboga con base en trabajos de mapeo topográfico y reconocimiento arqueológico por Iesemeli (2014) y Chiriboga (2015-2019); y análisis de modelo de elevación digital (DEM) LiDAR y derivados por Chiriboga (2017-2020).

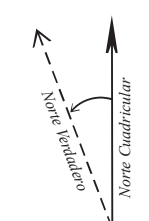
Datos LiDAR cortesía de la Iniciativa LiDAR Pacunam (PLD), generados por NCAIM.

SIMBOLOGÍA

Estructura Moderna	Depresión/Cantera
Estructuras	Bajo
Chultun	Rasgo Hidráulico/Defensivo
Banco de Marca	Curva Índice
Reservorio	Curva Intermedia
Área Inundable	Curva Depresión



INTERVALO DE CURVAS 5 METROS
CURVAS INTERMEDIAS CADA 1 METROS



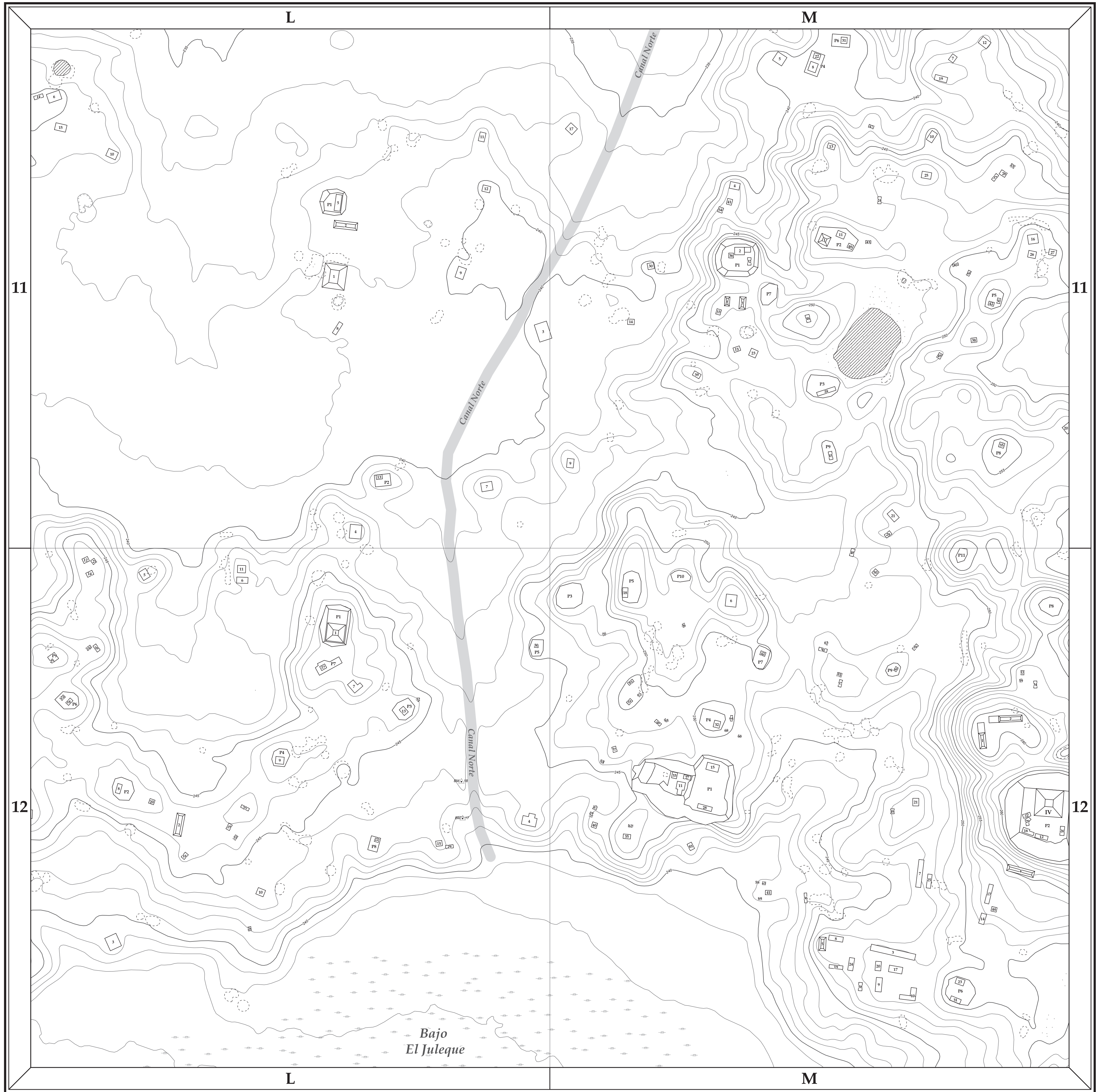
Convergencia de Cuadrícula:
-01.14659°
para el centro de la hoja

Ubicación de Hoja:

1	2	3	4	5
6	7	8	9	10
11	12	13	14	15
16	17	18	19	20
21	22	23	24	25

Serie 1 : 2,000
Hoja # 7

PAET, 2020
ver. 1.2 02/2021
Meoweb.com

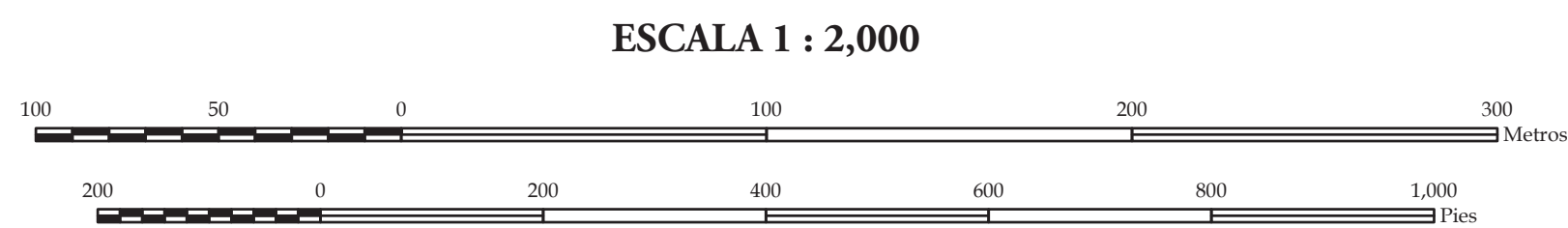


Preparado por C. R. Chiriboga con base en trabajos de mapeo topográfico y reconocimiento arqueológico por Iesemeli (2014) y Chiriboga (2015-2019); y análisis de modelo de elevación digital (DEM) LiDAR y derivados por Chiriboga (2017-2020).

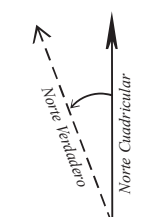
Datos LiDAR cortesía de la Iniciativa LiDAR Pacunam (PLD), generados por NCAIM.

SIMBOLOGÍA

Estructura Moderna	Depresión/Cantera
Estructuras	Bajo
Chultun	Rasgo Hidráulico/Defensivo
Banco de Marca	Curva Índice
Reservorio	Curva Intermedia
Área Inundable	Curva Depresión



INTERVALO DE CURVAS 5 METROS
CURVAS INTERMEDIAS CADA 1 METROS



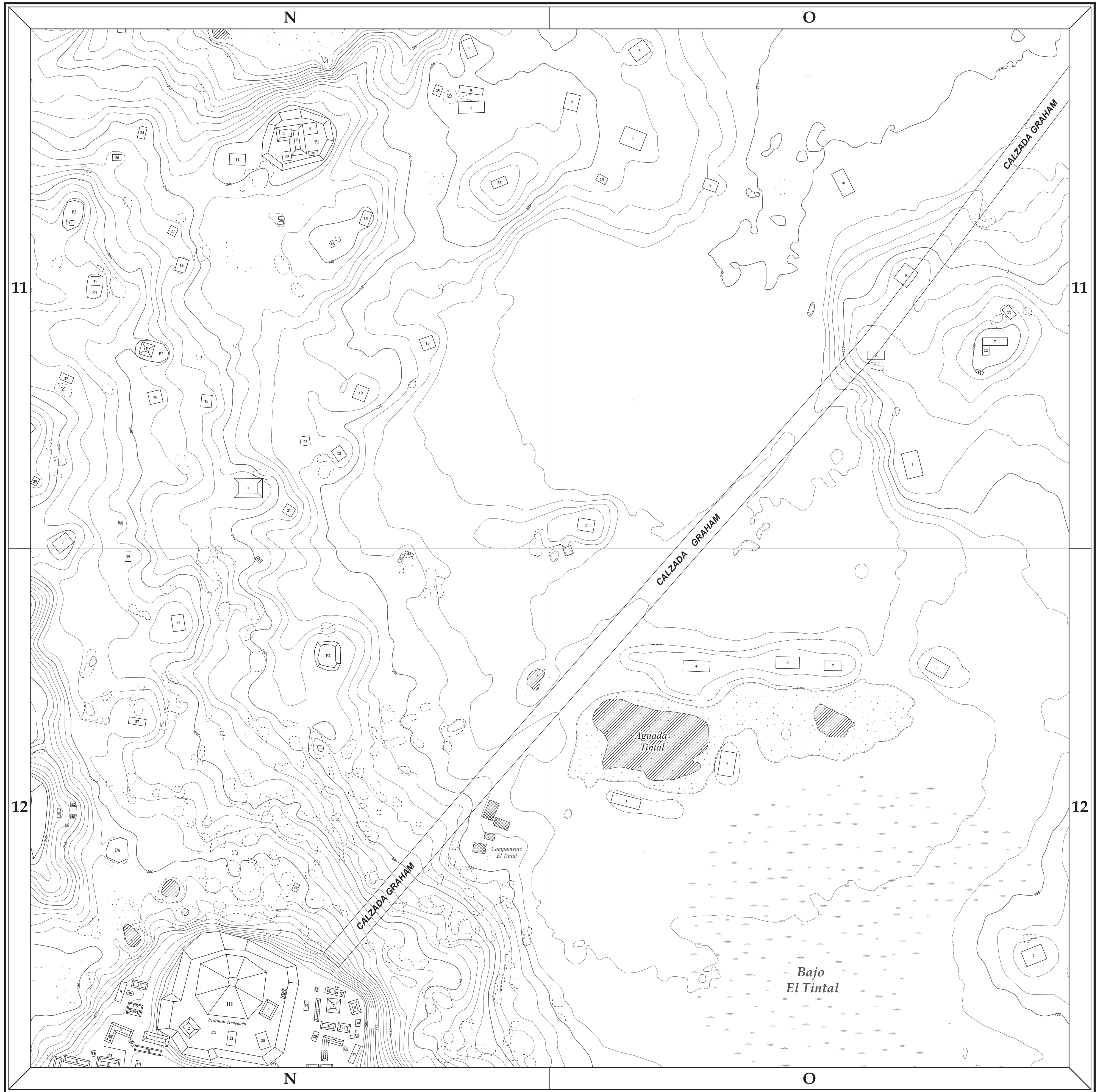
Convergencia de Cuadrícula:
-01.434837°
para el centro de la hoja

Ubicación de Hoja:

1	2	3	4	5
6	7	8	9	10
11	12	13	14	15
16	17	18	19	20
21	22	23	24	25

Serie 1 : 2,000
Hoja # 8

PAET, 2020
ver. 1.2 02/2021
Meoweb.com

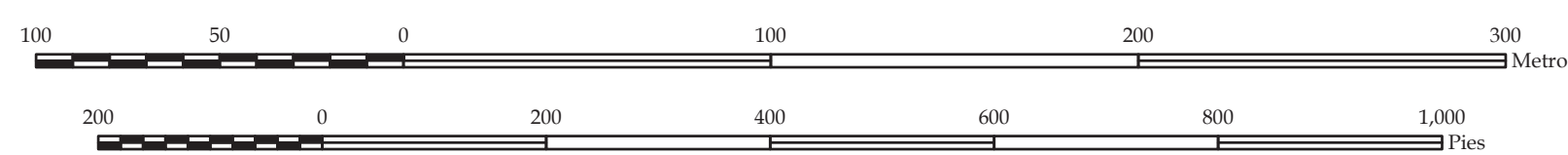


Preparado por C. R. Chiriboga con base en trabajos de mapeo topográfico y reconocimiento arqueológico por Isemei (2014) y Chiriboga (2015-2019); y análisis de modelo de elevación digital (DEM) LiDAR y derivados por Chiriboga (2017-2020).

Datos LiDAR cortesía de la Iniciativa LiDAR Pacanam (PLD), generados por NCAIM.

SIMBOLOGÍA

Estructura Moderna	Depresión/Cantera
Estructuras	Bajo
Chultun	Rasgo Hidráulico/Defensivo
Banco de Marca	Curva Índice
Reservorio	Curva Intermedia
Área Inundable	Curva Depresión



INTERVALO DE CURVAS 5 METROS
CURVAS INTERMEDIAS CADA 1 METROS

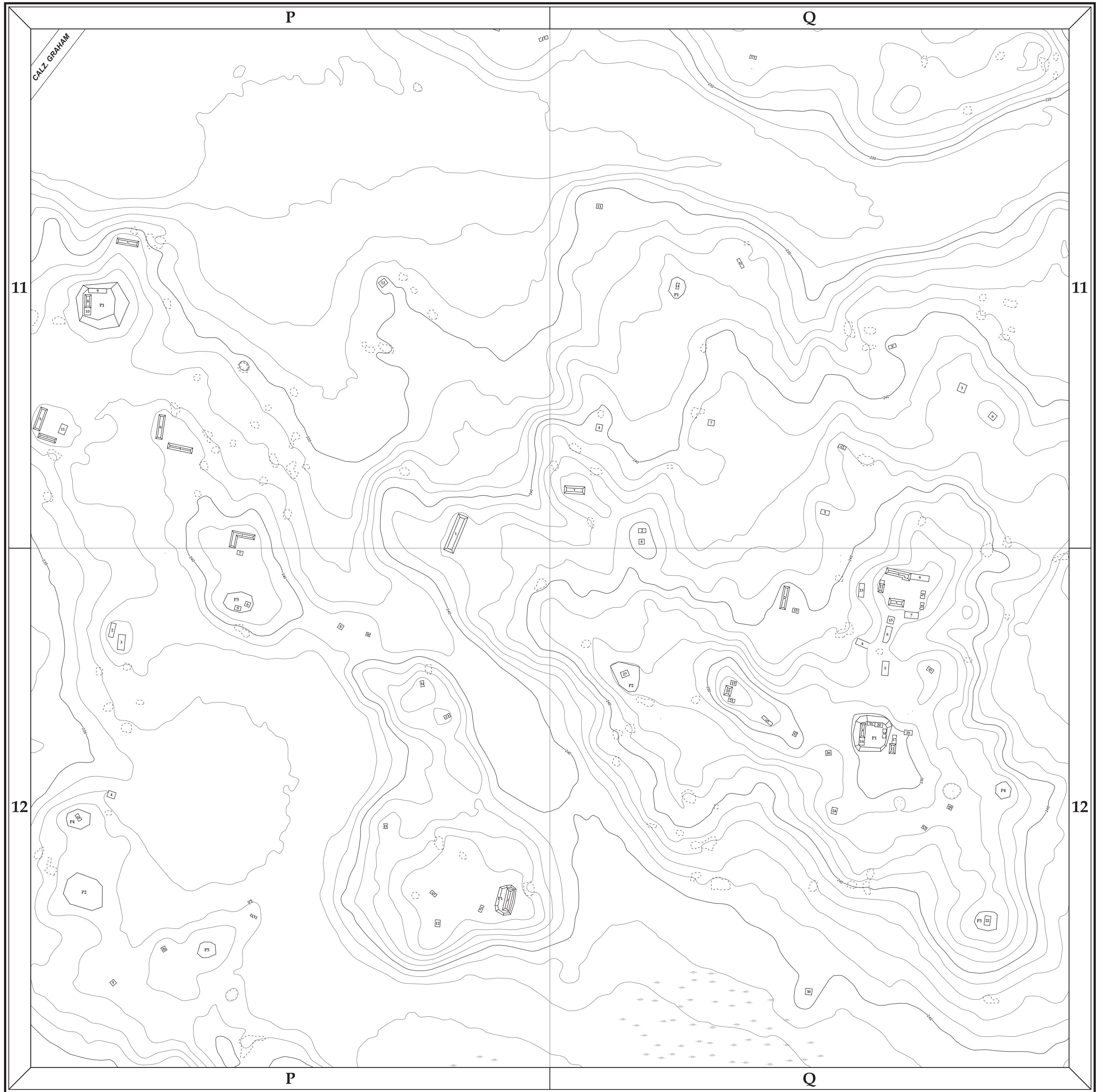


Ubicación de Hoja:

1	2	3	4	5
6	7	8	9	10
11	12	13	14	15
16	17	18	19	20
21	22	23	24	25

Serie 1 : 2,000
Hoja # 9

PAET, 2020
ver. 1.2 02/2021
Meoweb.com

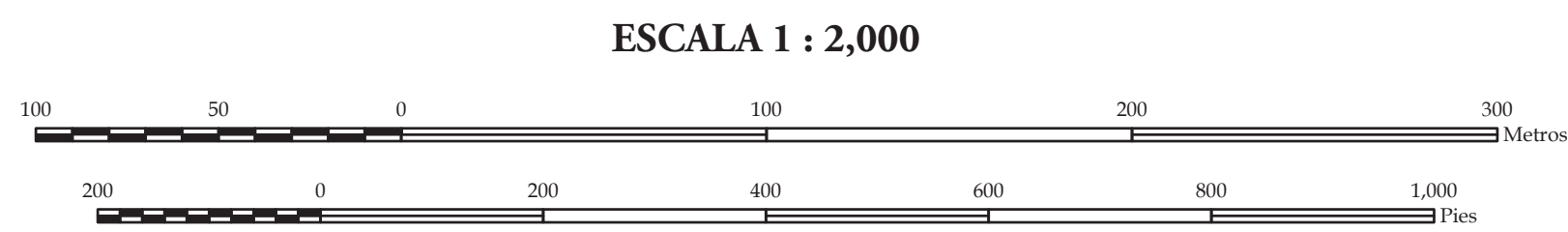


Preparado por C. R. Chiriboga con base en trabajos de mapeo topográfico y reconocimiento arqueológico por Iesemeli (2014) y Chiriboga (2015-2019); y análisis de modelo de elevación digital (DEM) LiDAR y derivados por Chiriboga (2017-2020).

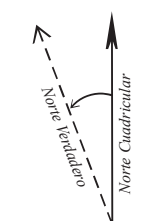
Datos LiDAR cortesía de la Iniciativa LiDAR Pacunam (PLD), generados por NCALM.

SIMBOLOGÍA

Estructura Moderna	Depresión/Cantera
Estructuras	Bojo
Chultun	Rasgo Hidráulico/Defensivo
Banco de Marca	Curva Índice
Reservorio	Curva Intermedia
Área Inundable	Curva Depresión



INTERVALO DE CURVAS 5 METROS
CURVAS INTERMEDIAS CADA 1 METROS



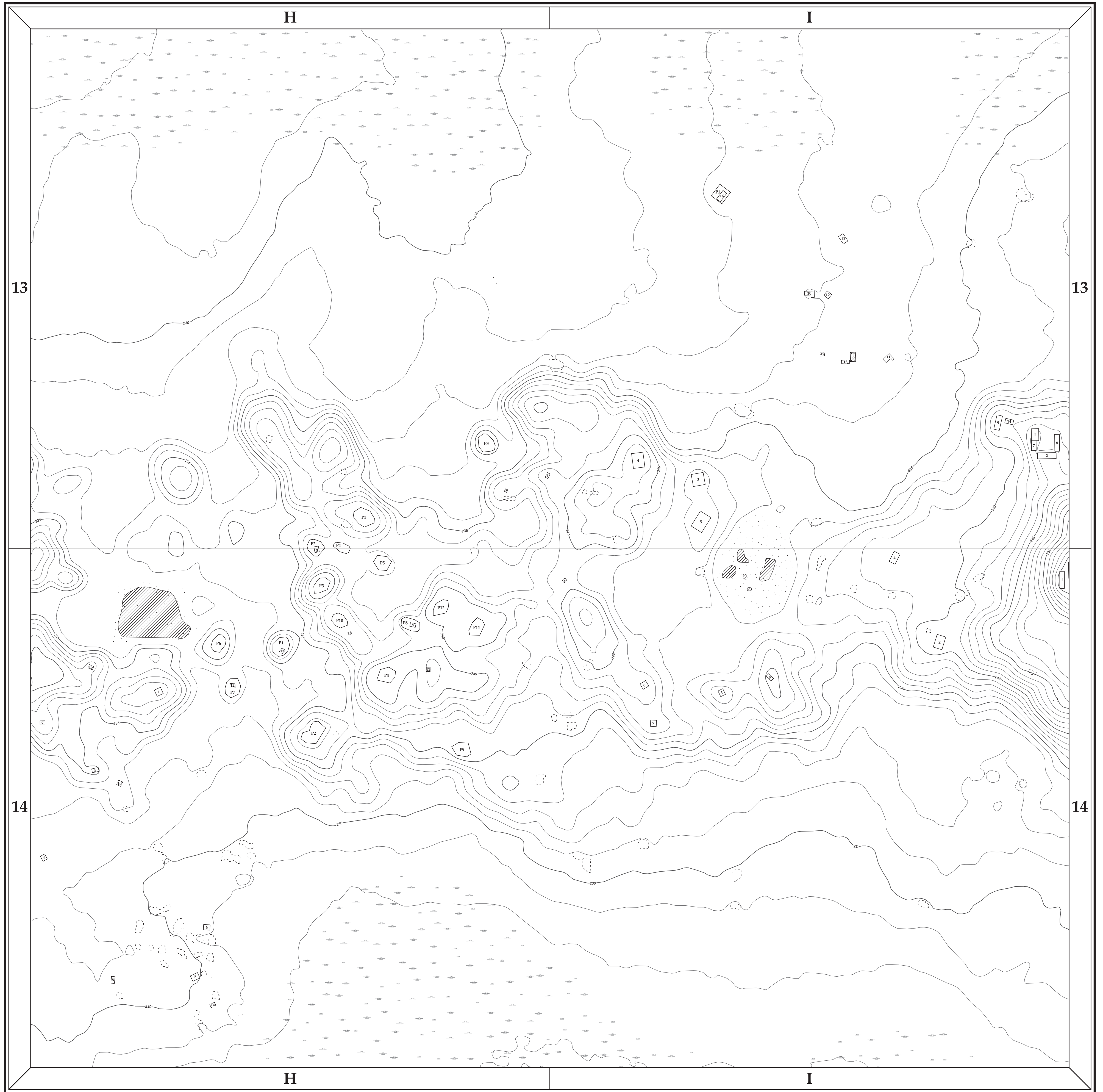
Convergencia de Cuadrícula:
-0.155129°
para el centro de la hoja

Ubicación de Hoja:

1	2	3	4	5
6	7	8	9	10
11	12	13	14	15
16	17	18	19	20
21	22	23	24	25

Serie 1 : 2,000
Hoja # 10

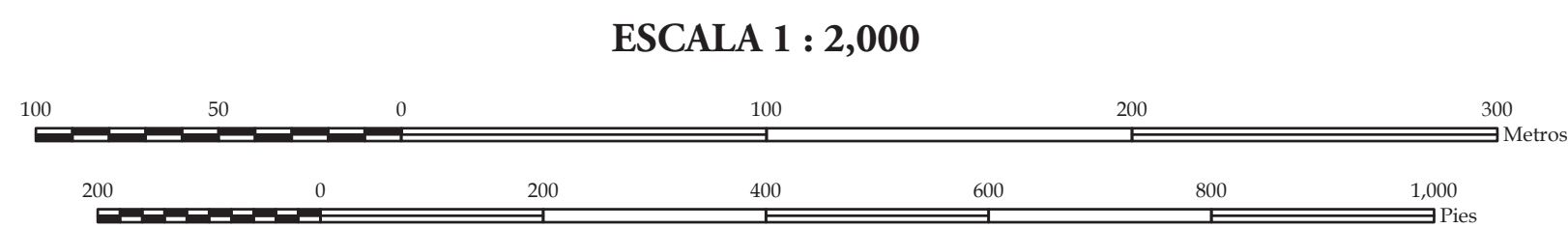
PAET, 2020
ver. 1.2 02/2021
Meoweb.com



Preparado por C. R. Chiriboga con base en trabajos de mapeo topográfico y reconocimiento arqueológico por Iesemeli (2014) y Chiriboga (2015-2019); y análisis de modelo de elevación digital (DEM) LiDAR y derivados por Chiriboga (2017-2020).

Datos LiDAR cortesía de la Iniciativa LiDAR Pacunam (PLD), generados por NCALM.

- SIMBOLOGÍA**
- Estructura Moderna — [rectángulo con líneas horizontales]
 - Estructuras — [rectángulo con líneas verticales]
 - Chultun — [círculo con líneas radiales]
 - Banco de Marca — [línea con triángulos]
 - Reservorio — [rectángulo con líneas diagonales]
 - Área Inundable — [línea con triángulos invertidos]
 - Depresión/Cantera — [línea con triángulos invertidos]
 - Bojo — [línea con triángulos]
 - Rasgo Hidráulico/Defensivo — [línea con triángulos]
 - Curva Índice — [línea con triángulos]
 - Curva Intermedia — [línea con triángulos]
 - Curva Depresión — [línea con triángulos]



INTERVALO DE CURVAS 5 METROS
CURVAS INTERMEDIAS CADA 1 METROS

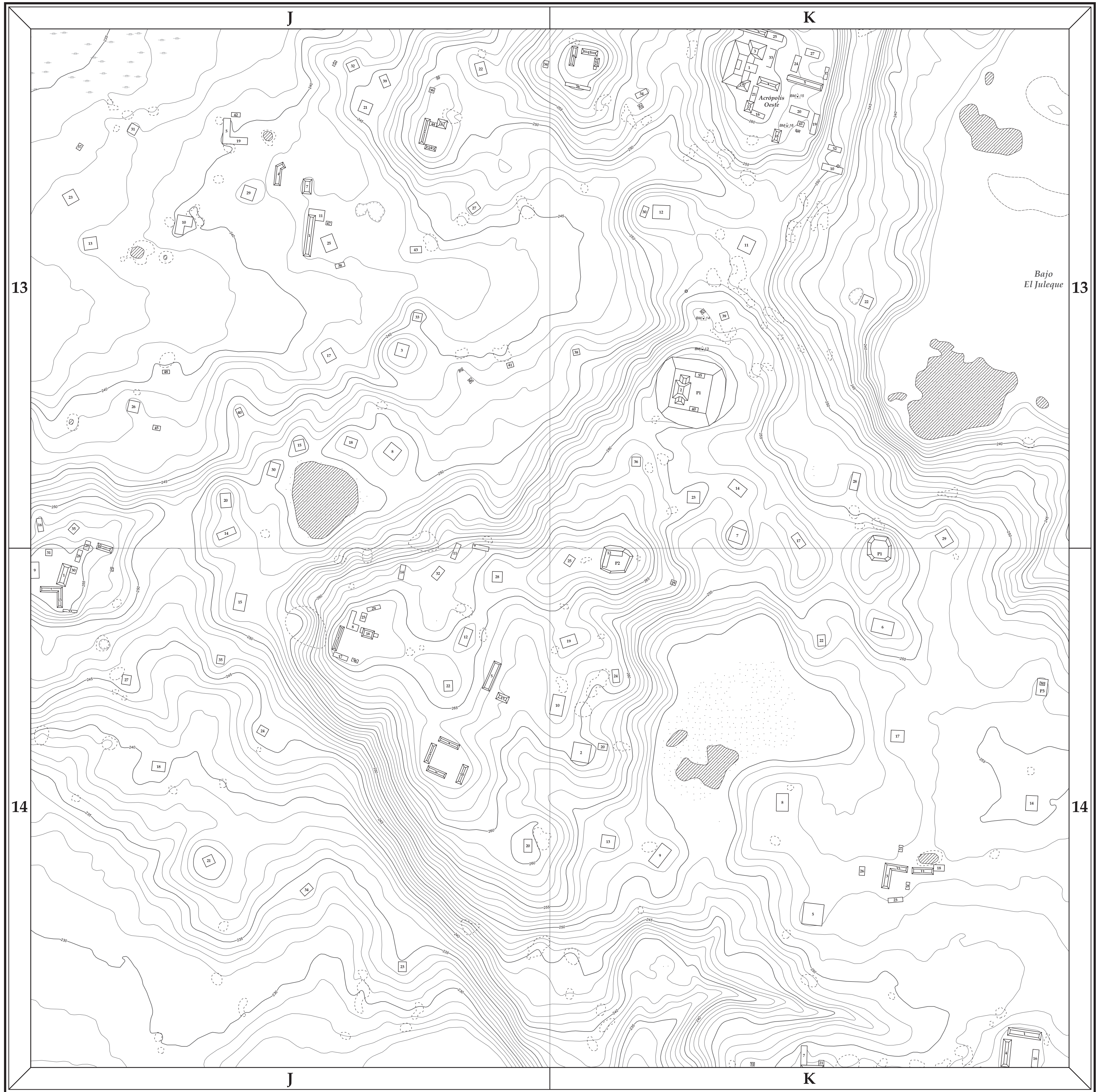


Ubicación de Hoja:

1	2	3	4	5
6	7	8	9	10
11	12	13	14	15
16	17	18	19	20
21	22	23	24	25

Serie 1 : 2,000
Hoja # 11

PAET, 2020
ver. 1.2 02/2021
Meoweb.com

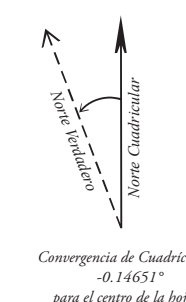
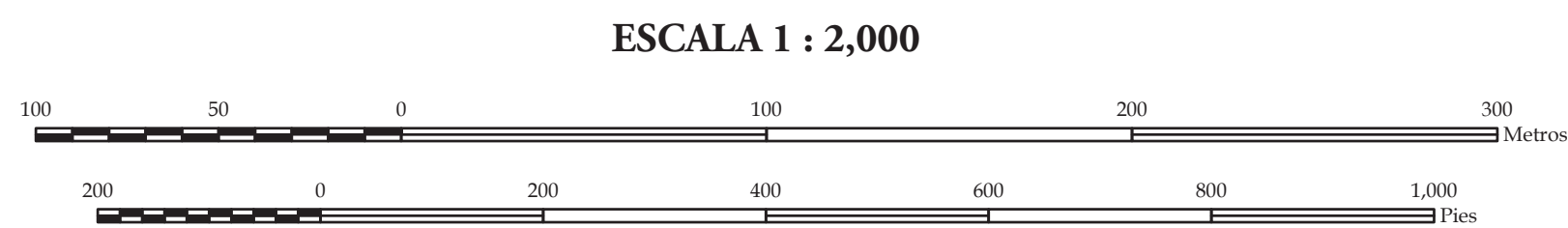


Preparado por C. R. Chiriboga con base en trabajos de mapeo topográfico y reconocimiento arqueológico por Iesemeli (2014) y Chiriboga (2015-2019); y análisis de modelo de elevación digital (DEM) LiDAR y derivados por Chiriboga (2017-2020).

Datos LiDAR cortesía de la Iniciativa LiDAR Pacunam (PLD), generados por NCAIM.

SIMBOLOGÍA

Estructura Moderna	Depresión/Cantera
Estructuras	Bajo
Chultun	Rasgo Hidráulico/Defensivo
Banco de Marca	Curva Índice
Reservorio	Curva Intermedia
Área Inundable	Curva Depresión

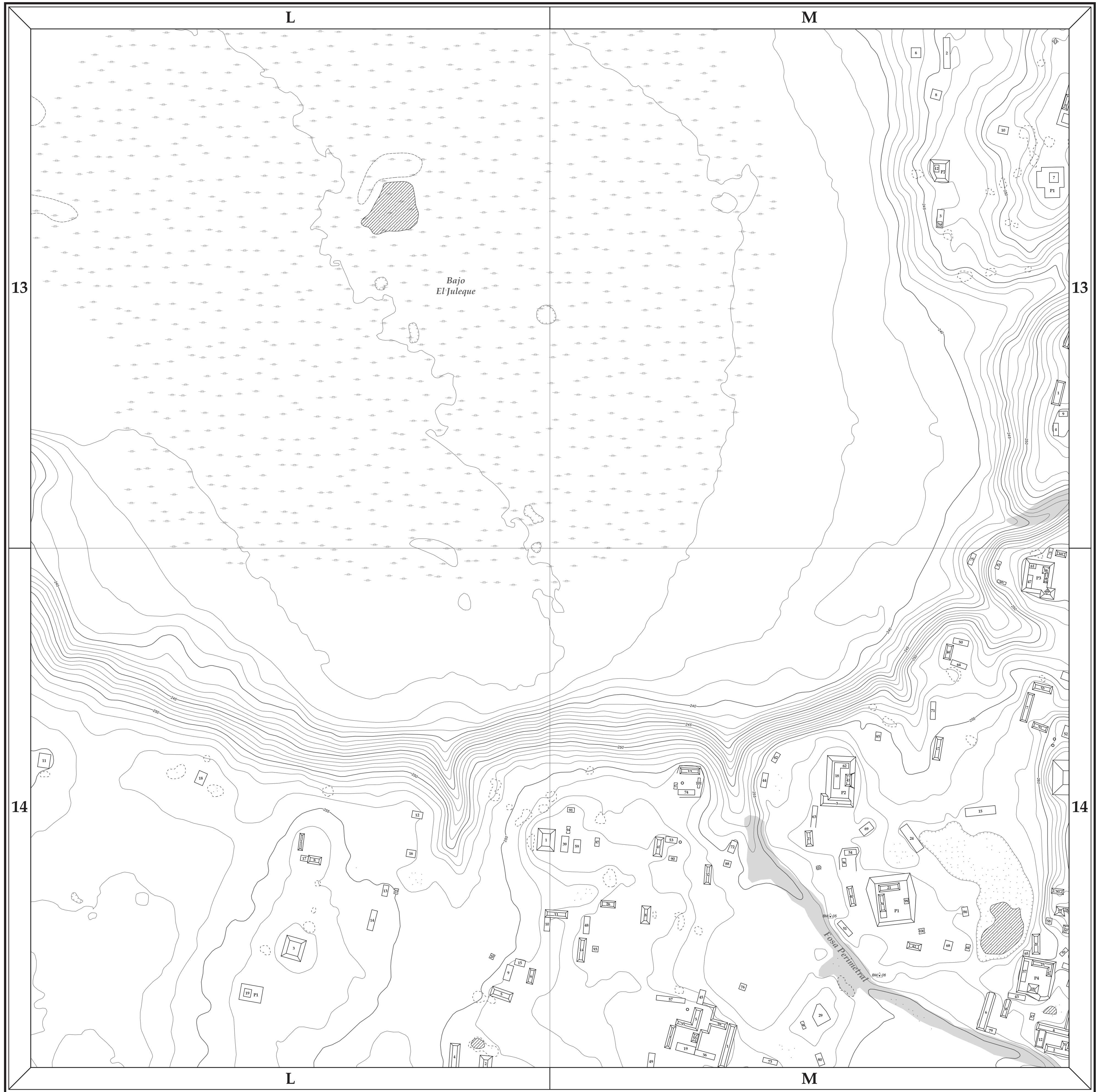


Ubicación de Hoja:

1	2	3	4	5
6	7	8	9	10
11	12	13	14	15
16	17	18	19	20
21	22	23	24	25

Serie 1 : 2,000
Hoja # 12

PAET, 2020
ver. 1.2 02/2021
Meoweb.com

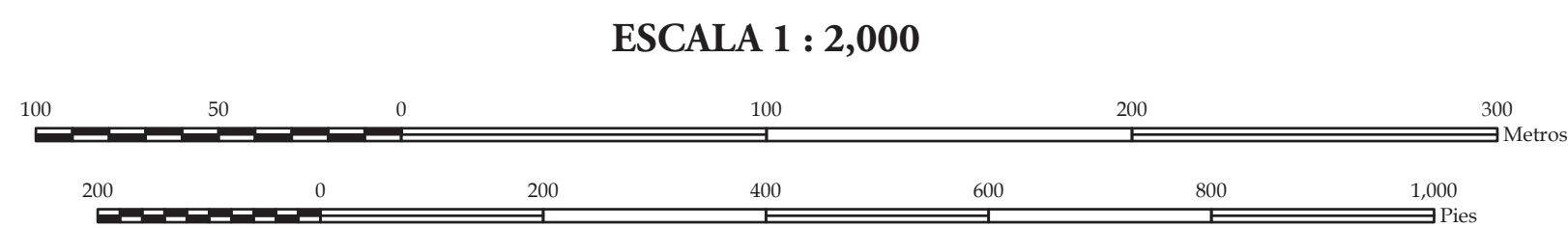


Preparado por C. R. Chiriboga con base en trabajos de mapeo topográfico y reconocimiento arqueológico por Iesemeli (2014) y Chiriboga (2015-2019); y análisis de modelo de elevación digital (DEM) LIDAR y derivados por Chiriboga (2017-2020).

Datos LIDAR cortesía de la Iniciativa LIDAR Pacunam (PLD), generados por NCAIM.

SIMBOLOGÍA

Estructura Moderna	Depresión/Cantera
Estructuras	Bajo
Chultun	Rasgo Hidráulico/Defensivo
Banco de Marca	Curva Índice
Reservorio	Curva Intermedia
Área Inundable	Curva Depresión



INTERVALO DE CURVAS 5 METROS
CURVAS INTERMEDIAS CADA 1 METROS

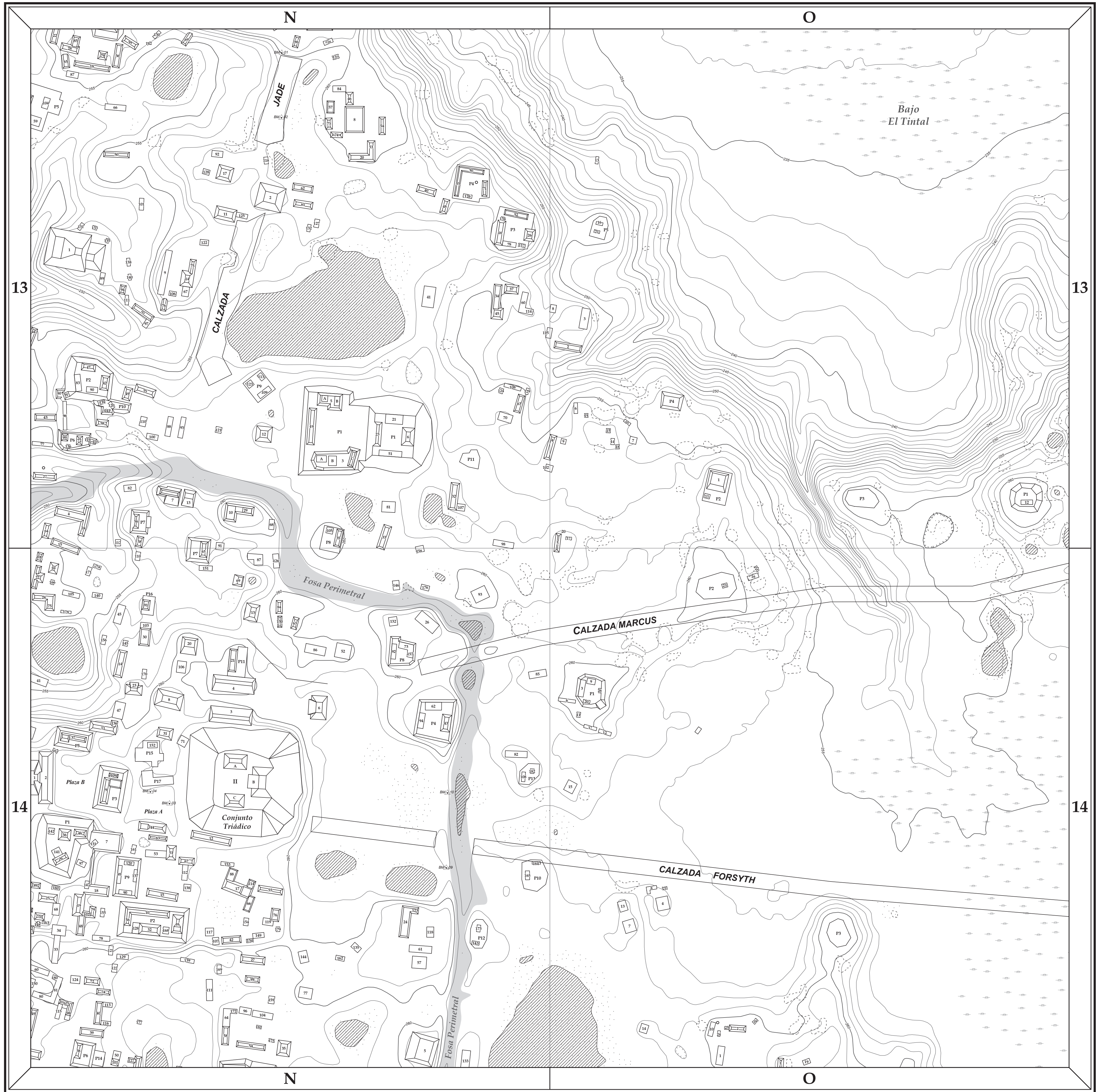


Ubicación de Hoja:

1	2	3	4	5
6	7	8	9	10
11	12	13	14	15
16	17	18	19	20
21	22	23	24	25

Serie 1 : 2,000
Hoja # 13

PAET, 2020
ver. 1.2 02/2021
Meoweb.com

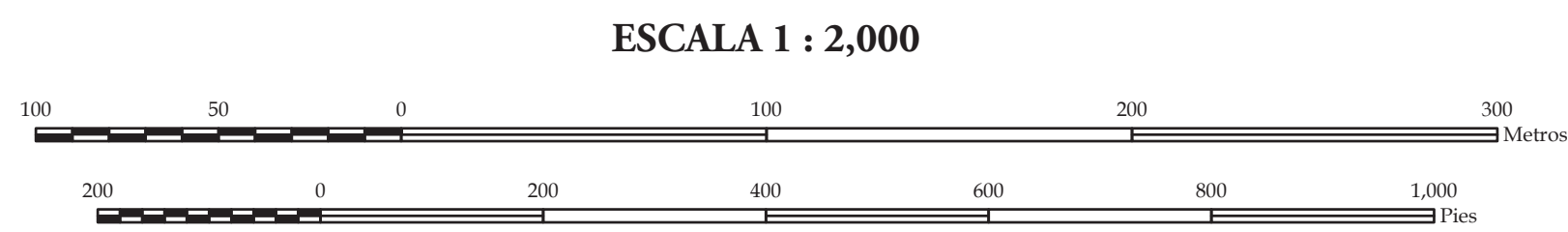


Preparado por C. R. Chiriboga con base en trabajos de mapeo topográfico y reconocimiento arqueológico por Isemei (2014) y Chiriboga (2015-2019); y análisis de modelo de elevación digital (DEM) LiDAR y derivados por Chiriboga (2017-2020).

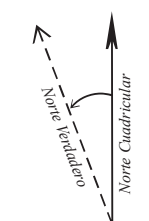
Datos LiDAR cortesía de la Iniciativa LiDAR Pacunam (PLD), generados por NCAIM.

SIMBOLOGÍA

Estructura Moderna	Deposición/Cantera
Estructuras	Bajo
Chultun	Rasgo Hidráulico/Defensivo
Banco de Marca	Curva Índice
Reservorio	Curva Intermedia
Área Inundable	Curva Depresión



INTERVALO DE CURVAS 5 METROS
CURVAS INTERMEDIAS CADA 1 METROS



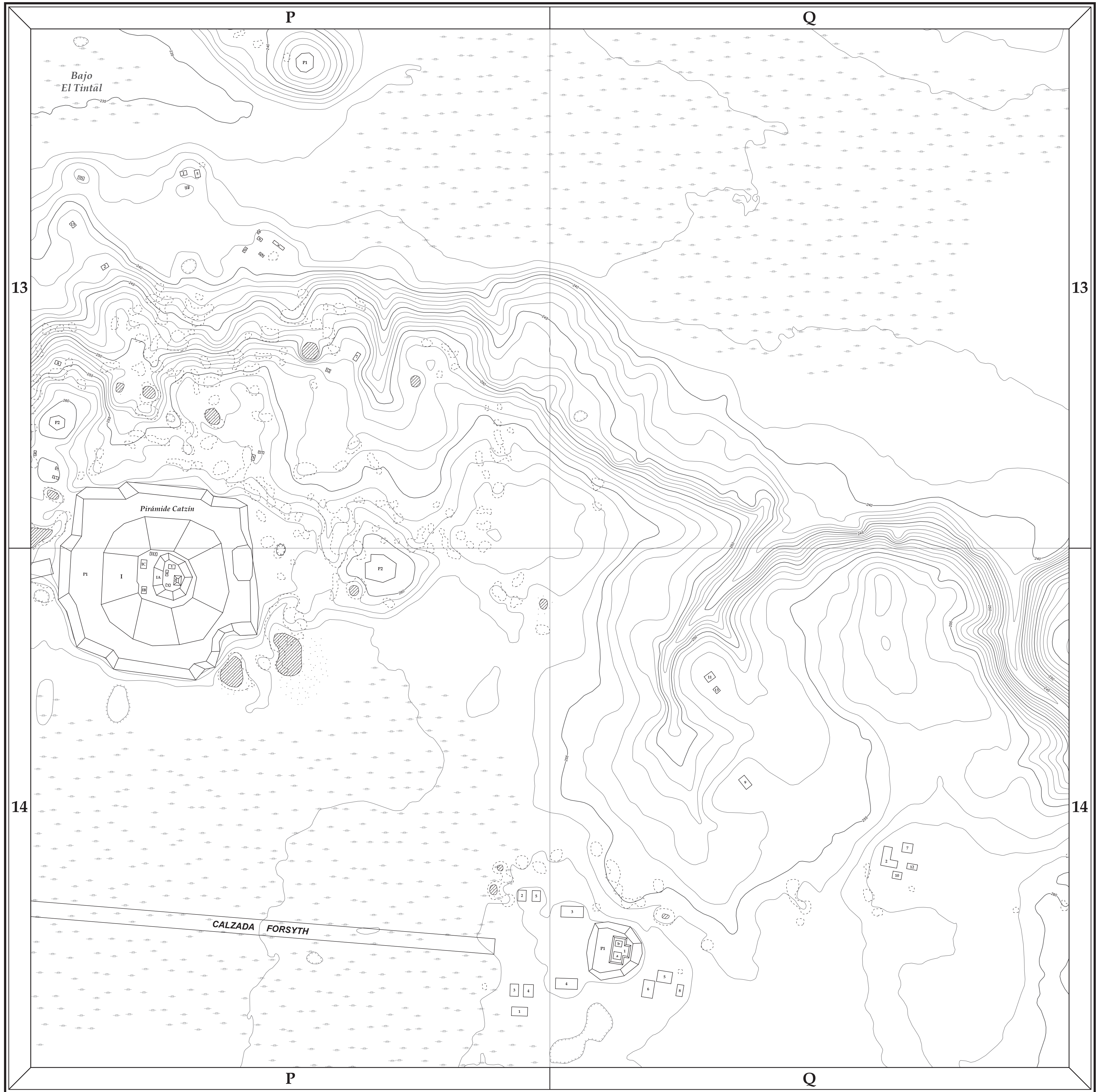
Convergencia de Caidral: -0.5227
para el centro de la hoja

Ubicación de Hoja:

1	2	3	4	5
6	7	8	9	10
11	12	13	14	15
16	17	18	19	20
21	22	23	24	25

Serie 1 : 2,000
Hoja # 14

PAET, 2020
ver. 1.2 02/2021
Meoweb.com

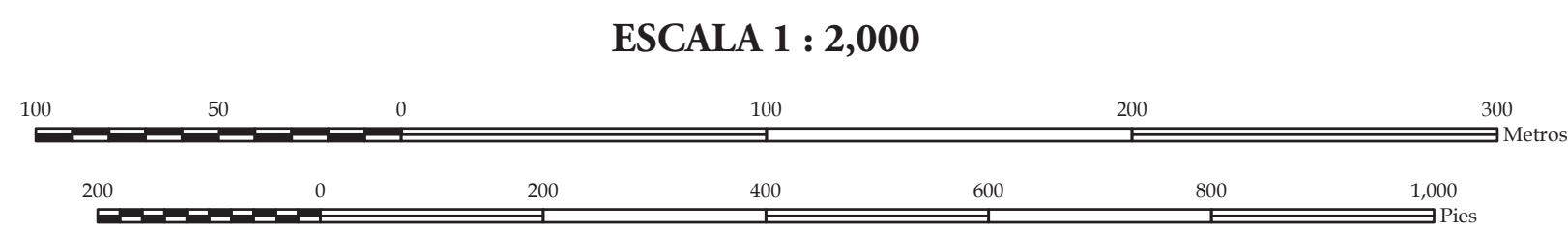


Preparado por C. R. Chiriboga con base en trabajos de mapeo topográfico y reconocimiento arqueológico por Iesemeli (2014) y Chiriboga (2015-2019); y análisis de modelo de elevación digital (DEM) LiDAR y derivados por Chiriboga (2017-2020).

Datos LiDAR cortesía de la Iniciativa LiDAR Pacunam (PLD), generados por NCAIM.

SIMBOLOGÍA

Estructura Moderna	Depresión/Cantera
Estructuras	Bajo
Chultun	Rasgo Hidráulico/Defensivo
Banco de Marca	Curva Índice
Reservorio	Curva Intermedia
Área Inundable	Curva Depresión



INTERVALO DE CURVAS 5 METROS
CURVAS INTERMEDIAS CADA 1 METROS



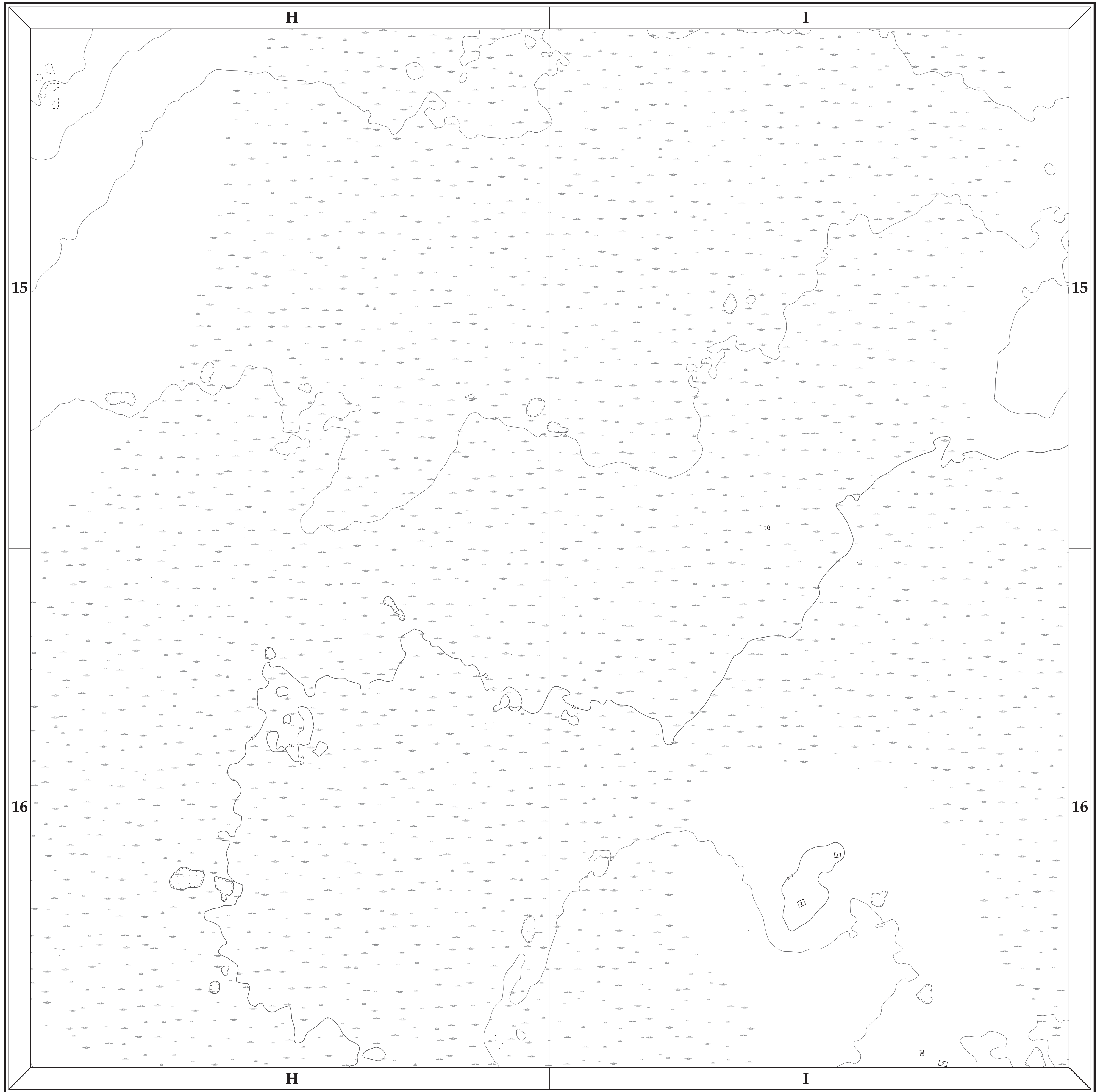
Convergencia de Cuadrícula:
-0.155044"
para el centro de la hoja

Ubicación de Hoja:

1	2	3	4	5
6	7	8	9	10
11	12	13	14	15
16	17	18	19	20
21	22	23	24	25

Serie 1 : 2,000
Hoja # 15

PAET, 2020
ver. 1.2 02/2021
Meoweb.com

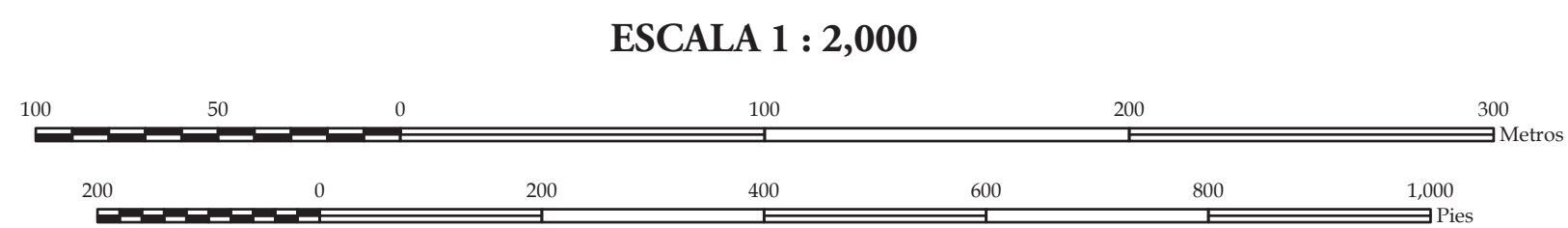


Preparado por C. R. Chiriboga con base en trabajos de mapeo topográfico y reconocimiento arqueológico por Iesemeli (2014) y Chiriboga (2015-2019); y análisis de modelo de elevación digital (DEM) LIDAR y derivados por Chiriboga (2017-2020).

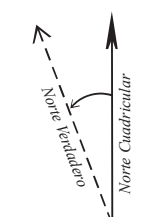
Datos LIDAR cortesía de la Iniciativa LIDAR Pacunam (PLD), generados por NCAALM.

SIMBOLOGÍA

Estructura Moderna	Depresión/Cantera
Estructuras	Bojo
Chultun	Rasgo Hidráulico/Defensivo
Banco de Marca	Curva Índice
Reservorio	Curva Intermedia
Área Inundable	Curva Depresión



INTERVALO DE CURVAS 5 METROS
CURVAS INTERMEDIAS CADA 1 METROS



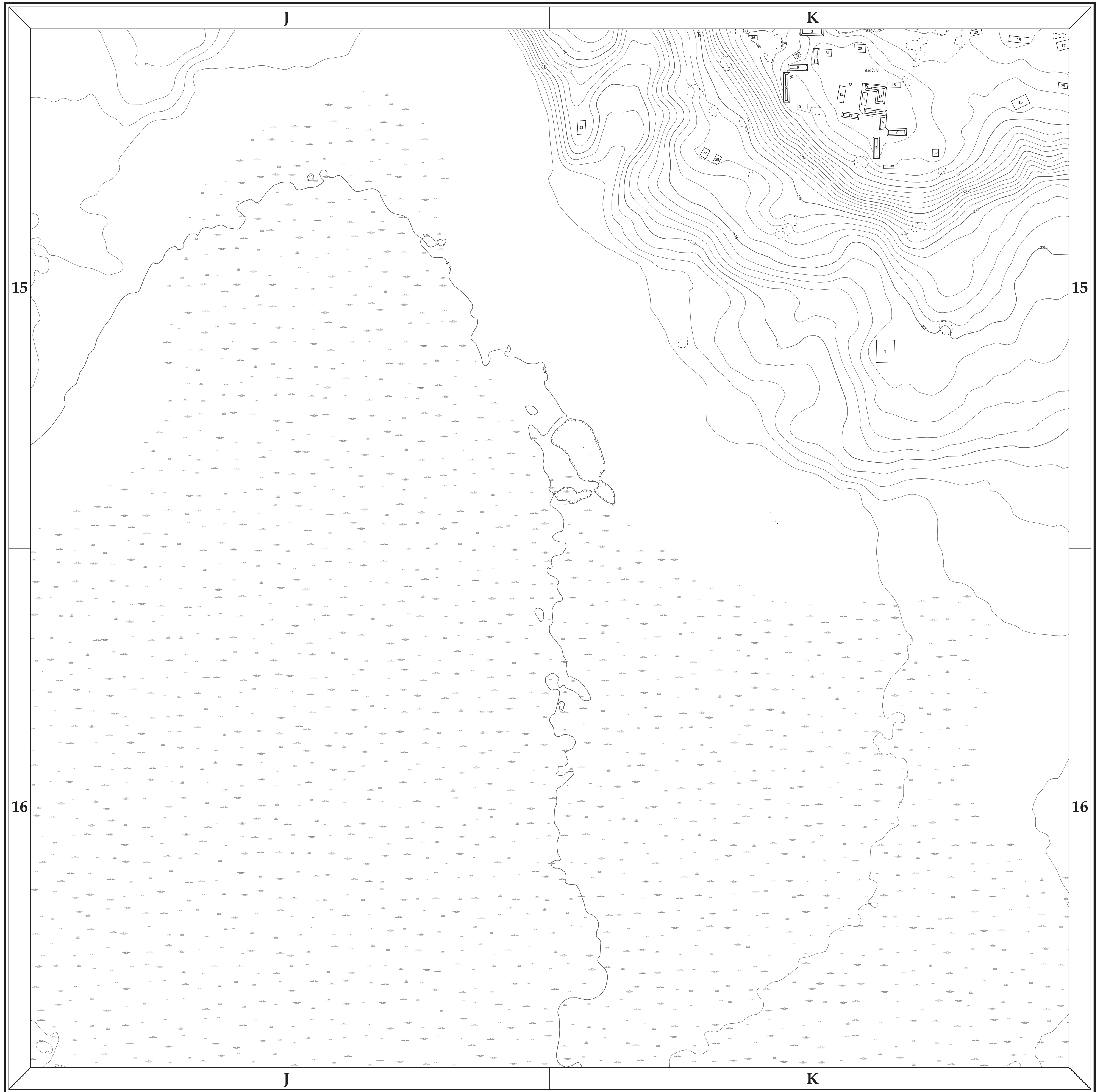
Convergencia de Cuadrícula:
-0.144567"
para el centro de la hoja

Ubicación de Hoja:

1	2	3	4	5
6	7	8	9	10
11	12	13	14	15
16	17	18	19	20
21	22	23	24	25

Serie 1 : 2,000
Hoja # 16

PAET, 2020
ver. 1.2 02/2021
Meoweb.com

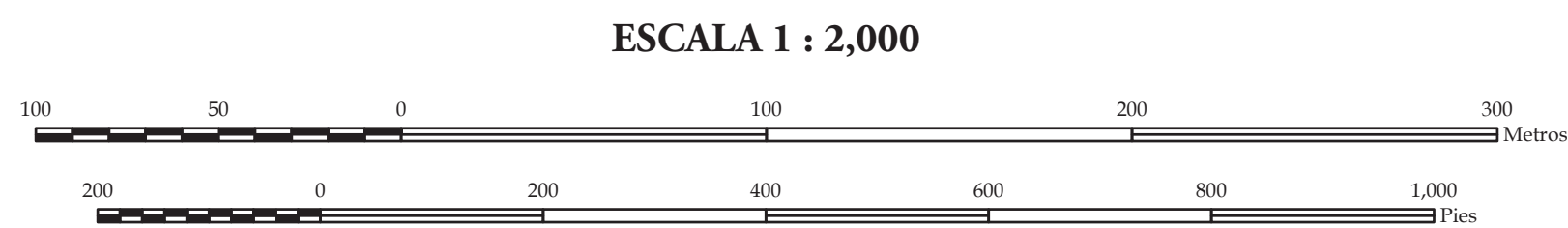


Preparado por C. R. Chiriboga con base en trabajos de mapeo topográfico y reconocimiento arqueológico por Iesemeli (2014) y Chiriboga (2015-2019); y análisis de modelo de elevación digital (DEM) LiDAR y derivados por Chiriboga (2017-2020).

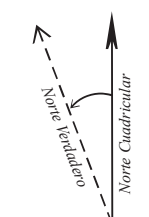
Datos LiDAR cortesía de la Iniciativa LiDAR Pacunam (PLD), generados por NCAIM.

SIMBOLOGÍA

Estructura Moderna	Depresión/Cantera
Estructuras	Bojo
Chultun	Rasgo Hidráulico/Defensivo
Banco de Marca	Curva Índice
Reservorio	Curva Intermedia
Área Inundable	Curva Depresión



INTERVALO DE CURVAS 5 METROS
CURVAS INTERMEDIAS CADA 1 METROS



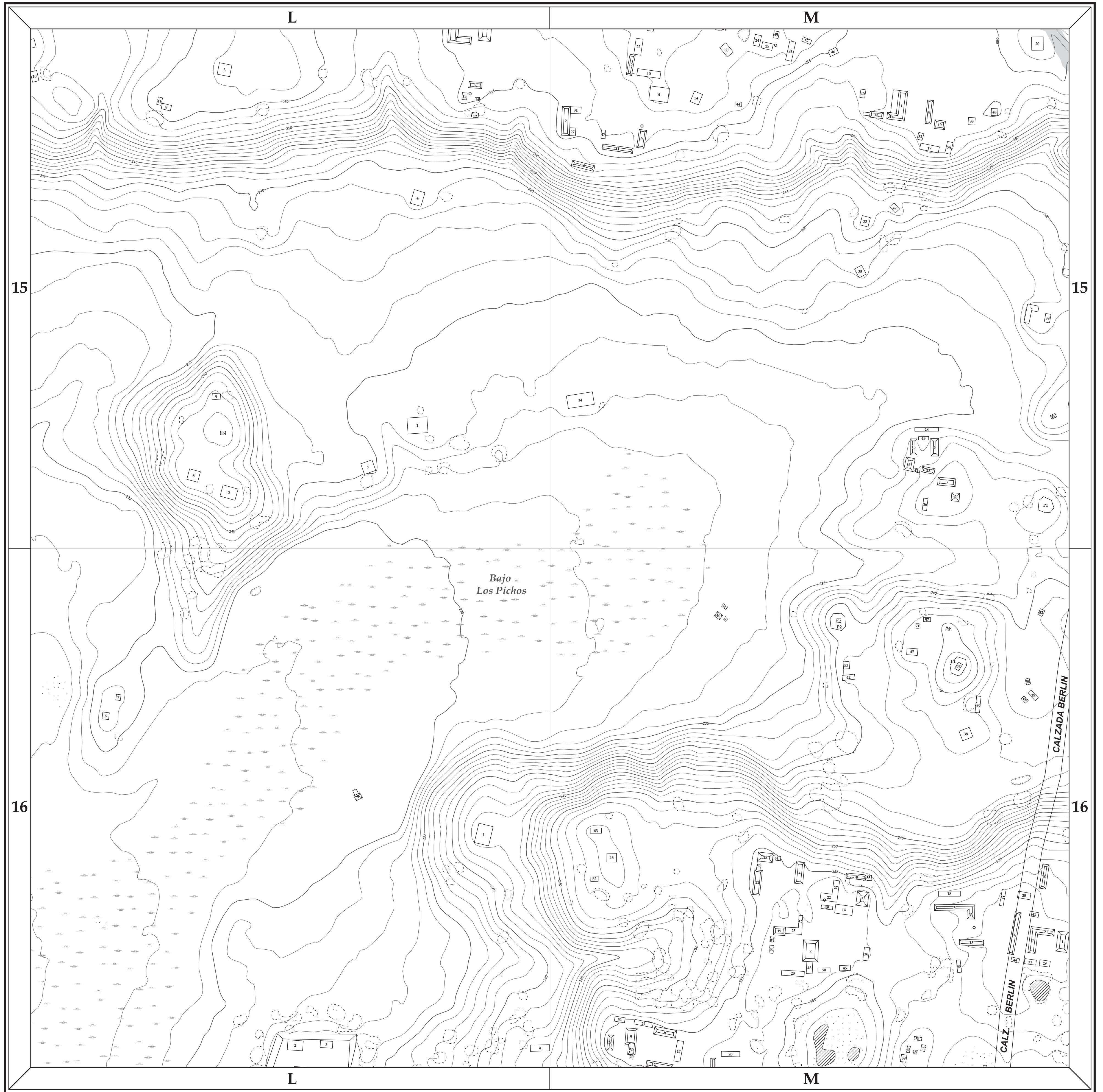
Convergencia de Cuadrícula:
-01.66667°
para el centro de la hoja

Ubicación de Hoja:

1	2	3	4	5
6	7	8	9	10
11	12	13	14	15
16	17	18	19	20
21	22	23	24	25

Serie 1 : 2,000
Hoja # 17

PAET, 2020
ver. 1.2 02/2021
Meoweb.com

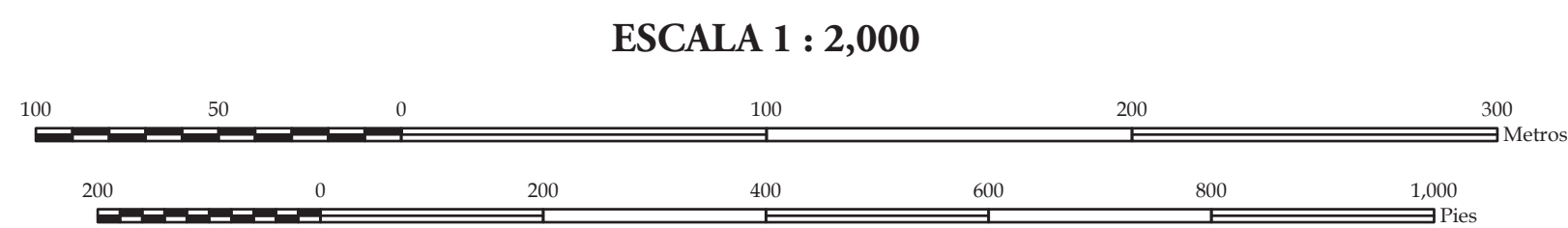


Preparado por C. R. Chiriboga con base en trabajos de mapeo topográfico y reconocimiento arqueológico por Iesemeli (2014) y Chiriboga (2015-2019); y análisis de modelo de elevación digital (DEM) LiDAR y derivados por Chiriboga (2017-2020).

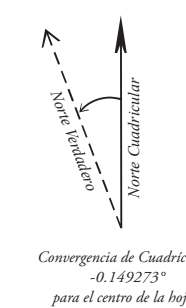
Datos LiDAR cortesía de la Iniciativa LiDAR Pacunam (PLD), generados por NCAIM.

SIMBOLOGÍA

Estructura Moderna	Depresión/Cantera
Estructuras	Bajo
Chultun	Rasgo Hidráulico/Defensivo
Banco de Marca	Curva Índice
Reservorio	Curva Intermedia
Área Inundable	Curva Depresión



INTERVALO DE CURVAS 5 METROS
CURVAS INTERMEDIAS CADA 1 METROS



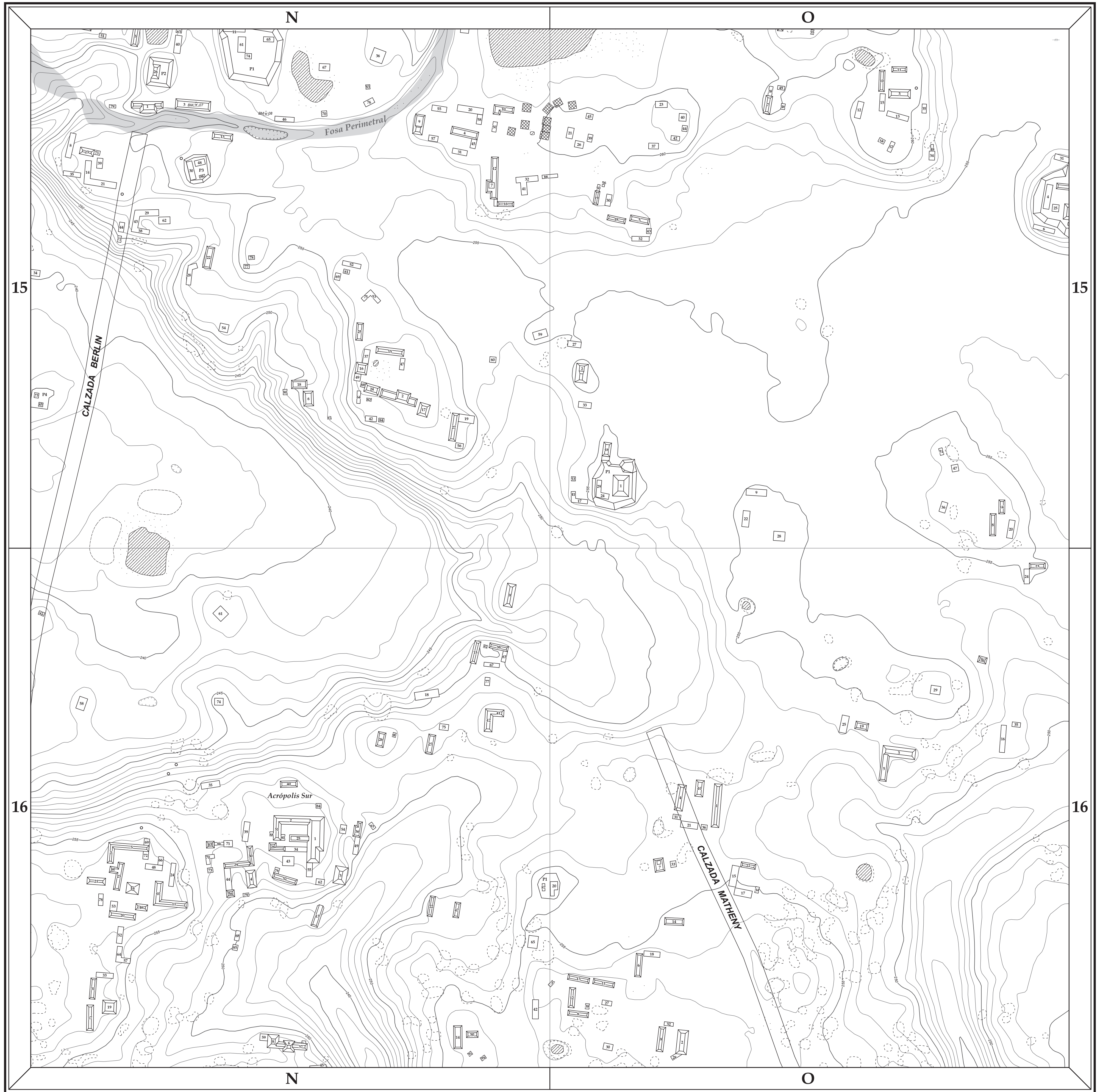
Convergencia de Cuadrícula:
-01.449273°
para el centro de la hoja

Ubicación de Hoja:

1	2	3	4	5
6	7	8	9	10
11	12	13	14	15
16	17	18	19	20
21	22	23	24	25

Serie 1 : 2,000
Hoja # 18

PAET, 2020
ver. 1.2 02/2021
Mesoweb.com

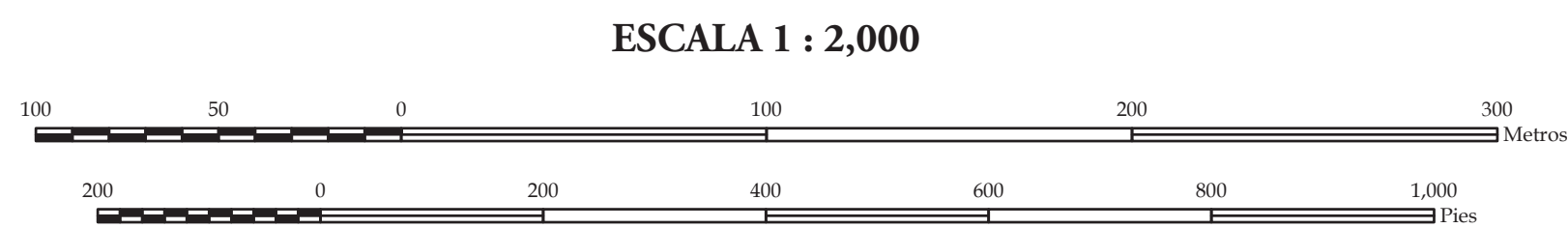


Preparado por C. R. Chiriboga con base en trabajos de mapeo topográfico y reconocimiento arqueológico por Isemei (2014) y Chiriboga (2015-2019); y análisis de modelo de elevación digital (DEM) LiDAR y derivados por Chiriboga (2017-2020).

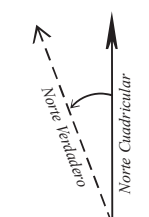
Datos LiDAR cortesía de la Iniciativa LiDAR Pacunam (PLI), generados por NCAIM.

SIMBOLOGÍA

Estructura Moderna	Depresión/Cantera
Estructuras	Bajo
Chultun	Rasgo Hidráulico/Defensivo
Banco de Marca	Curva Índice
Reservorio	Curva Intermedia
Área Inundable	Curva Depresión



INTERVALO DE CURVAS 5 METROS
CURVAS INTERMEDIAS CADA 1 METROS



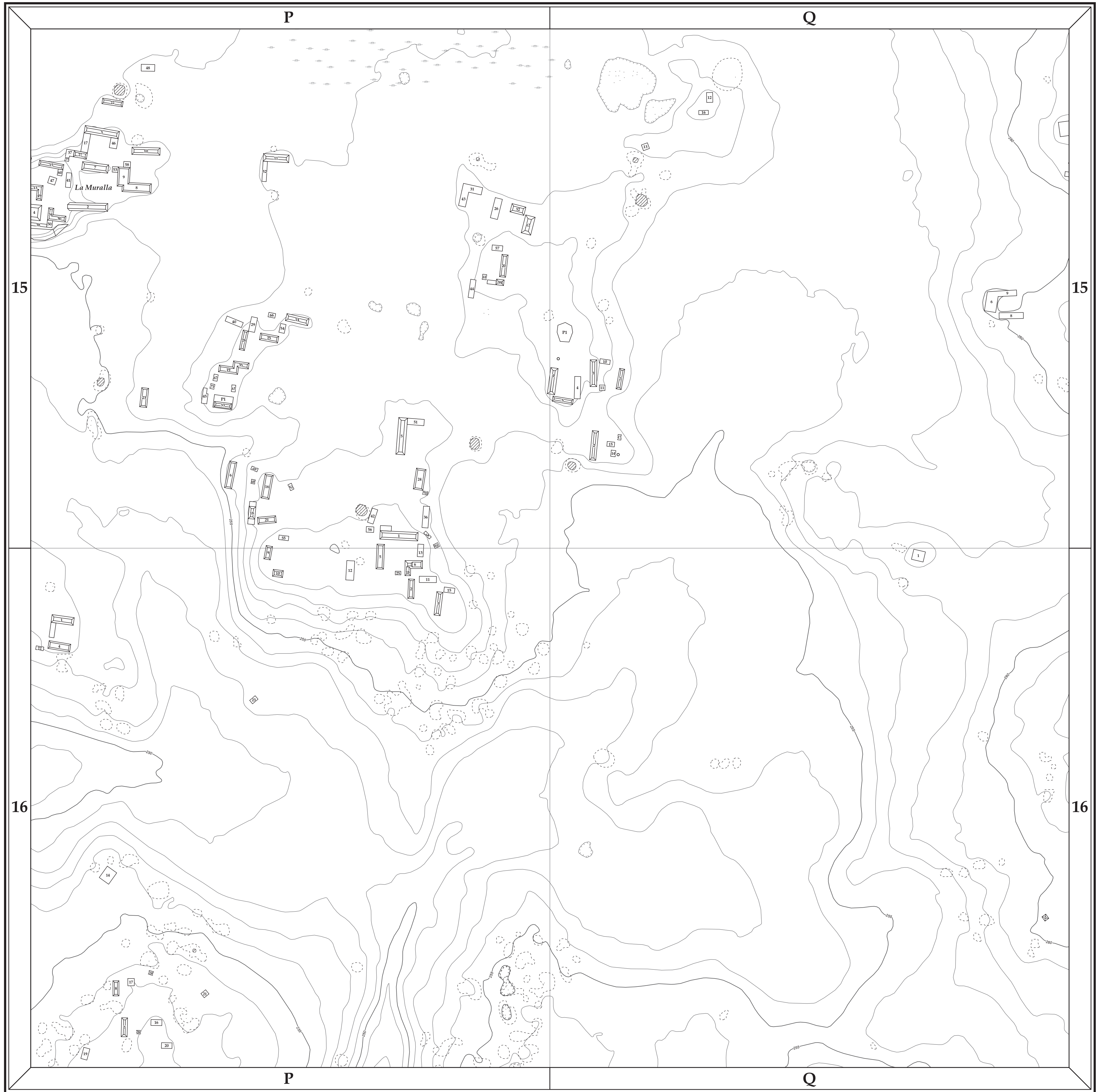
Convergencia de Cuadrícula:
-01.53116°
para el centro de la hoja

Ubicación de Hoja:

1	2	3	4	5
6	7	8	9	10
11	12	13	14	15
16	17	18	19	20
21	22	23	24	25

Serie 1 : 2,000
Hoja # 19

PAET, 2020
ver. 1.2 02/2021
Meoweb.com



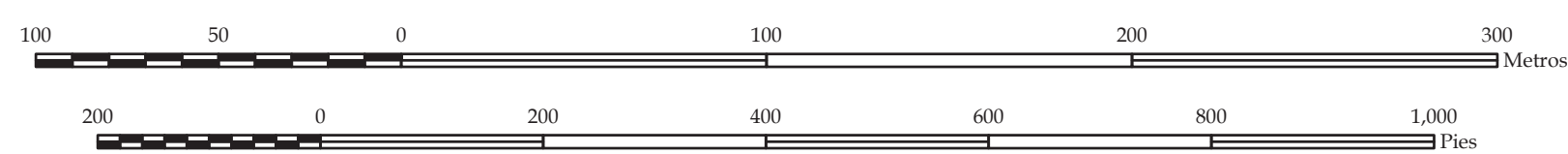
Preparado por C. R. Chiriboga con base en trabajos de mapeo topográfico y reconocimiento arqueológico por Iesemeli (2014) y Chiriboga (2015-2019); y análisis de modelo de elevación digital (DEM) LiDAR y derivados por Chiriboga (2017-2020).

Datos LiDAR cortesía de la Iniciativa LiDAR Pacunam (PLD), generados por NCALM.

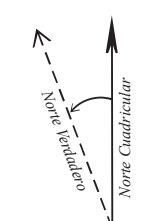
SIMBOLOGÍA

Estructura Moderna	Depresión/Cantera
Estructuras	Bojo
Chultun	Rasgo Hidráulico/Defensivo
Banco de Marca	Curva Índice
Reservorio	Curva Intermedia
Área Inundable	Curva Depresión

ESCALA 1 : 2,000



INTERVALO DE CURVAS 5 METROS
CURVAS INTERMEDIAS CADA 1 METROS

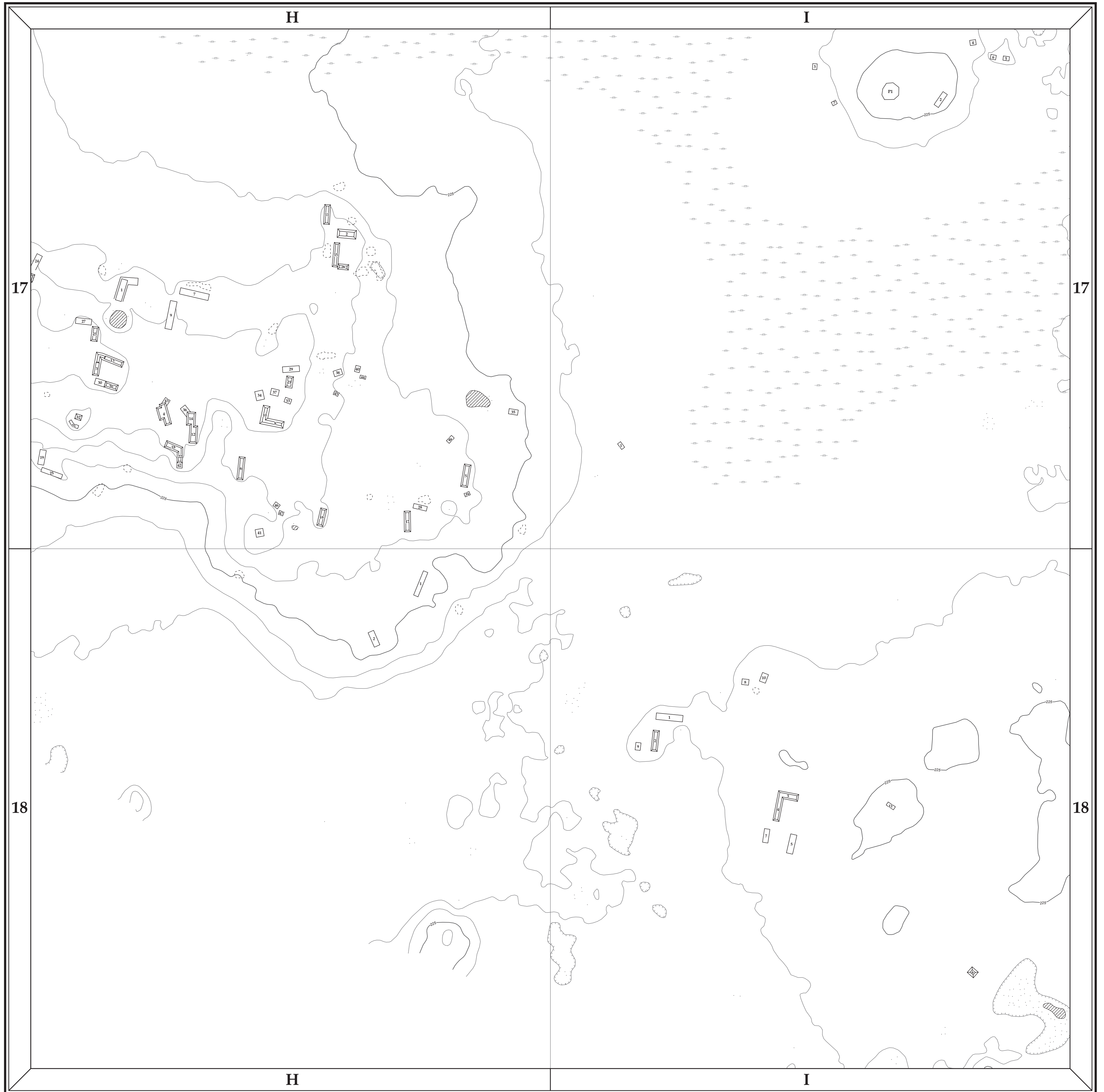


Ubicación de Hoja:

1	2	3	4	5
6	7	8	9	10
11	12	13	14	15
16	17	18	19	20
21	22	23	24	25

Serie 1 : 2,000
Hoja # 20

PAET, 2020
ver. 1.2 02/2021
Meoweb.com

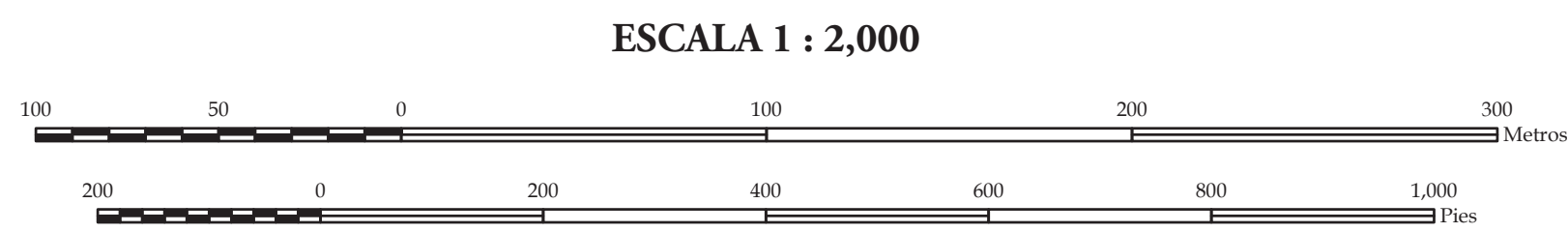


Preparado por C. R. Chiriboga con base en trabajos de mapeo topográfico y reconocimiento arqueológico por Iesemeli (2014) y Chiriboga (2015-2019); y análisis de modelo de elevación digital (DEM) LIDAR y derivados por Chiriboga (2017-2020).

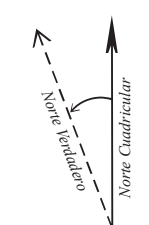
Datos LIDAR cortesía de la Iniciativa LIDAR Pacunam (PLD), generados por NCAIM.

SIMBOLOGÍA

Estructura Moderna	Depresión/Cantera
Estructuras	Bajo
Chultun	Rasgo Hidráulico/Defensivo
Banco de Marca	Curva Índice
Reservorio	Curva Intermedia
Área Inundable	Curva Depresión



INTERVALO DE CURVAS 5 METROS
CURVAS INTERMEDIAS CADA 1 METROS



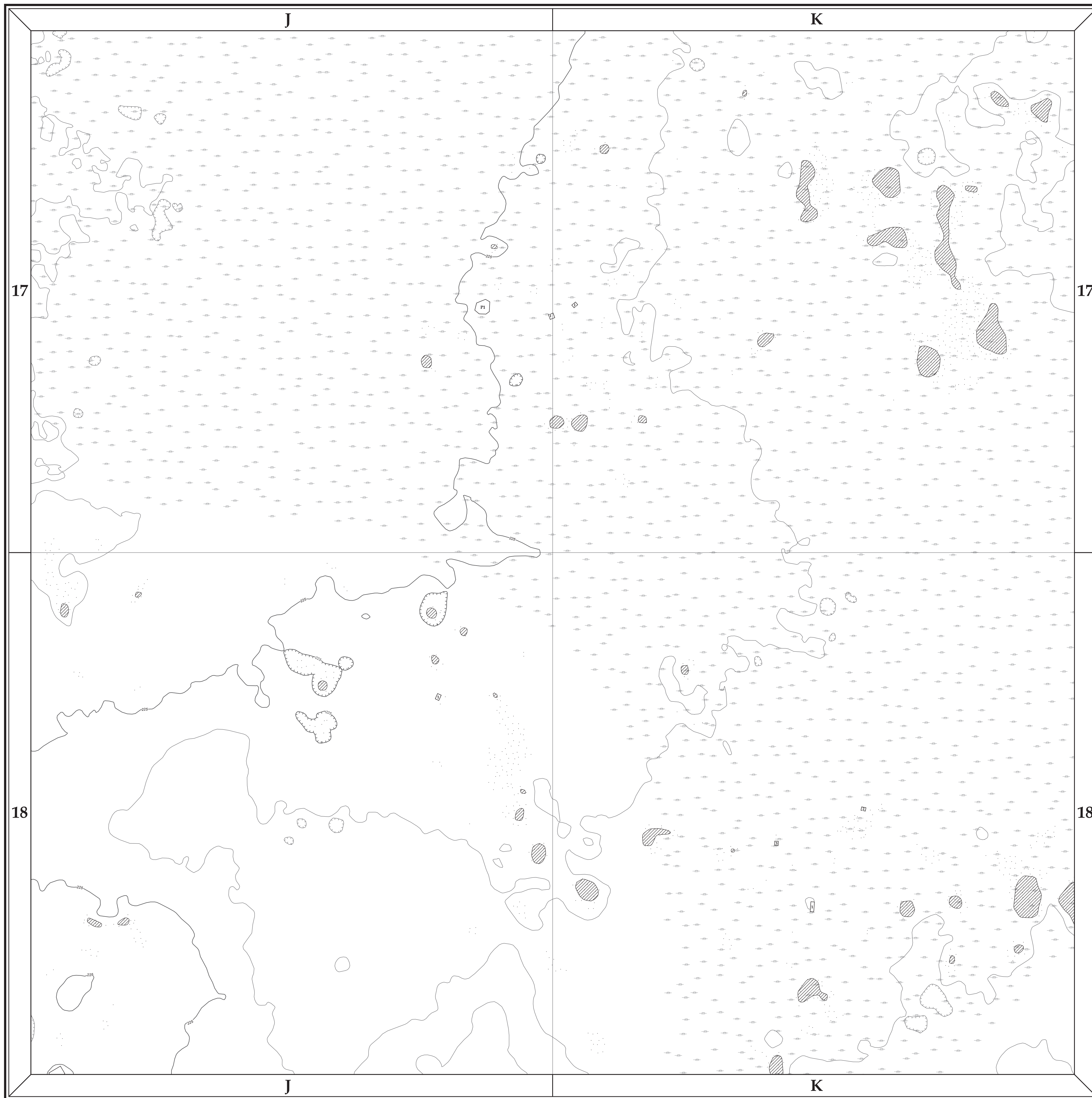
Convergencia de Cuadrícula:
-0.143508"
para el centro de la hoja

Ubicación de Hoja:

1	2	3	4	5
6	7	8	9	10
11	12	13	14	15
16	17	18	19	20
21	22	23	24	25

Serie 1 : 2,000
Hoja # 21

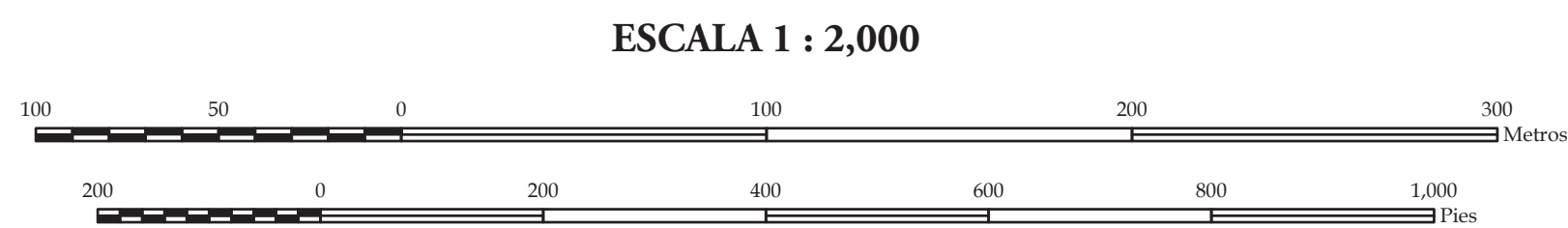
PAET, 2020
ver. 1.2 02/2021
Meoweb.com



Preparado por C. R. Chiriboga con base en trabajos de mapeo topográfico y reconocimiento arqueológico por Iesemeli (2014) y Chiriboga (2015-2019); y análisis de modelo de elevación digital (DEM) LiDAR y derivados por Chiriboga (2017-2020).

Datos LiDAR cortesía de la Iniciativa LiDAR Pacunam (PLD), generados por NCAIM.

SIMBOLOGÍA	
Estructura Moderna	Depresión/Cantera
Estructuras	Bajo
Chultun	Rasgo Hidráulico/Defensivo
Banco de Marca	Curva Índice
Reservorio	Curva Intermedia
Área Inundable	Curva Depresión



INTERVALO DE CURVAS 5 METROS
CURVAS INTERMEDIAS CADA 1 METROS



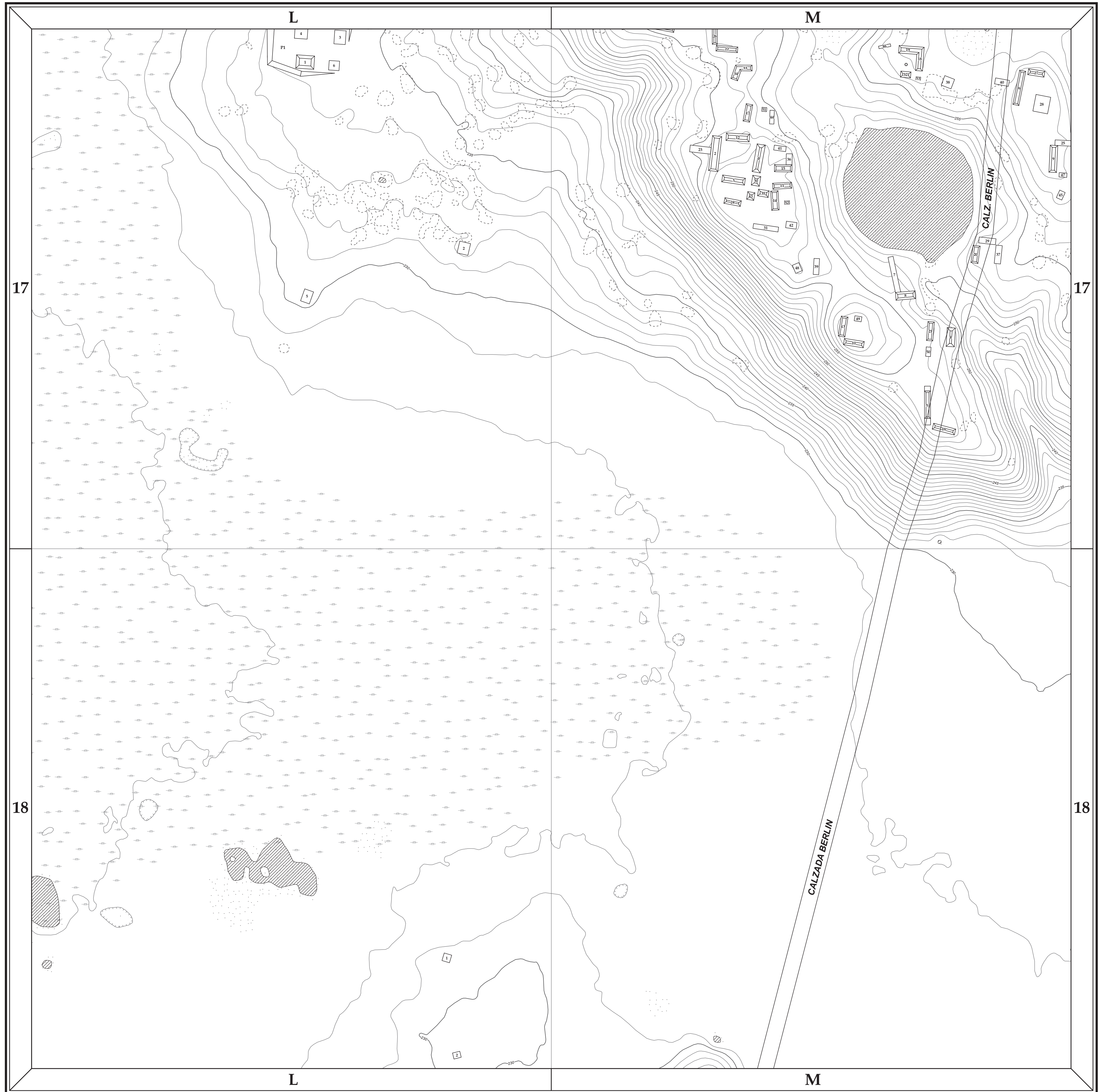
Convergencia de Cuadrícula:
01.66055°
para el centro de la hoja

Ubicación de Hoja:

1	2	3	4	5
6	7	8	9	10
11	12	13	14	15
16	17	18	19	20
21	22	23	24	25

Serie 1 : 2,000
Hoja # 22

PAET, 2020
ver. 1.2 02/2021
Meoweb.com

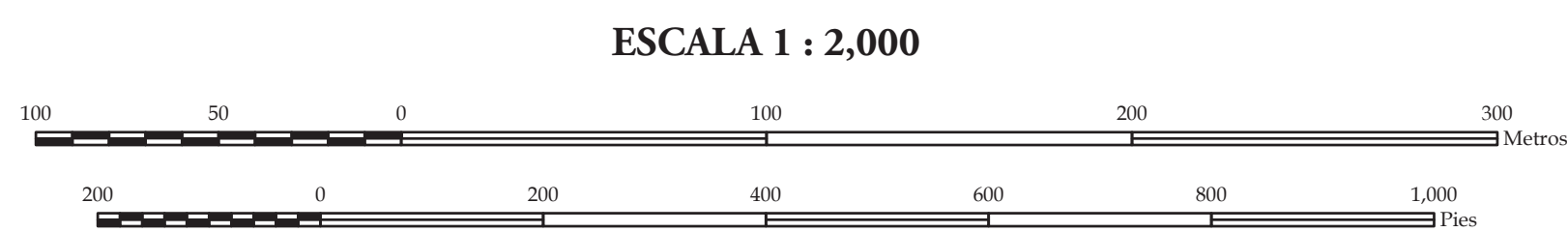


Preparado por C. R. Chiriboga con base en trabajos de mapeo topográfico y reconocimiento arqueológico por Iesemeli (2014) y Chiriboga (2015-2019); y análisis de modelo de elevación digital (DEM) LIDAR y derivados por Chiriboga (2017-2020).

Datos LIDAR cortesía de la Iniciativa LIDAR Pacunam (PLD), generados por NCALM.

SIMBOLOGÍA

Estructura Moderna	Depresión/Cantera
Estructuras	Bajo
Chultun	Rasgo Hidráulico/Defensivo
Banco de Marca	Curva Índice
Reservorio	Curva Intermedia
Área Inundable	Curva Depresión



INTERVALO DE CURVAS 5 METROS
CURVAS INTERMEDIAS CADA 1 METROS

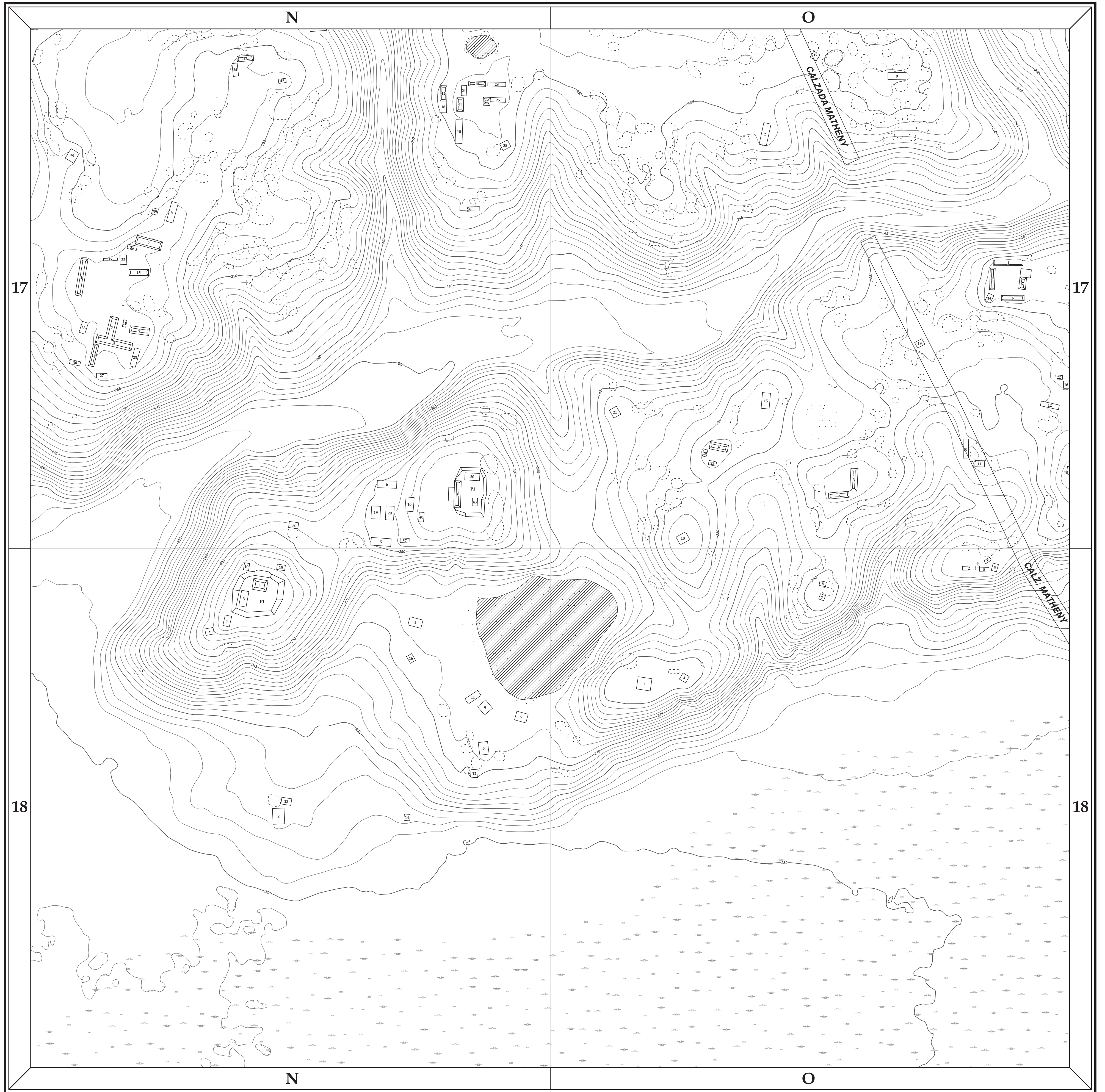


Ubicación de Hoja:

1	2	3	4	5
6	7	8	9	10
11	12	13	14	15
16	17	18	19	20
21	22	23	24	25

Serie 1 : 2,000
Hoja # 23

PAET, 2020
ver. 1.2 02/2021
Meoweb.com

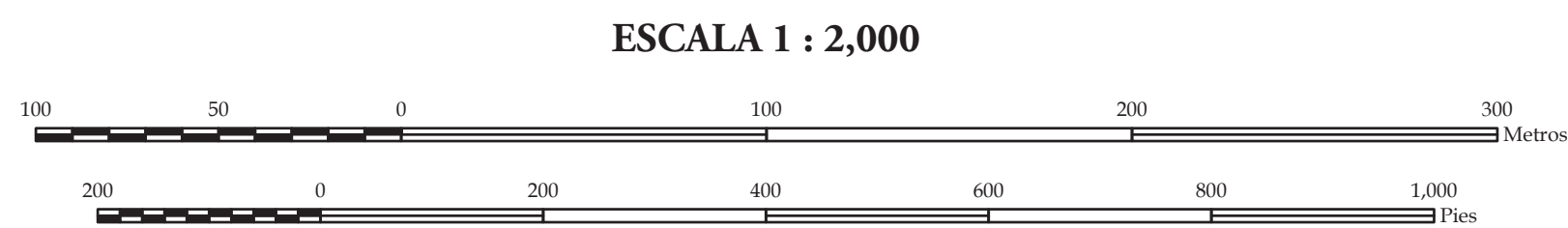


Preparado por C. R. Chiriboga con base en trabajos de mapeo topográfico y reconocimiento arqueológico por Iesemeli (2014) y Chiriboga (2015-2019); y análisis de modelo de elevación digital (DEM) LiDAR y derivados por Chiriboga (2017-2020).

Datos LiDAR cortesía de la Iniciativa LiDAR Pacunam (PLD), generados por NCAIM.

SIMBOLOGÍA

Estructura Moderna	Depresión/Cantera
Estructuras	Bajo
Chultun	Rasgo Hidráulico/Defensivo
Banco de Marca	Curva Índice
Reservorio	Curva Intermedia
Área Inundable	Curva Depresión



INTERVALO DE CURVAS 5 METROS
CURVAS INTERMEDIAS CADA 1 METROS

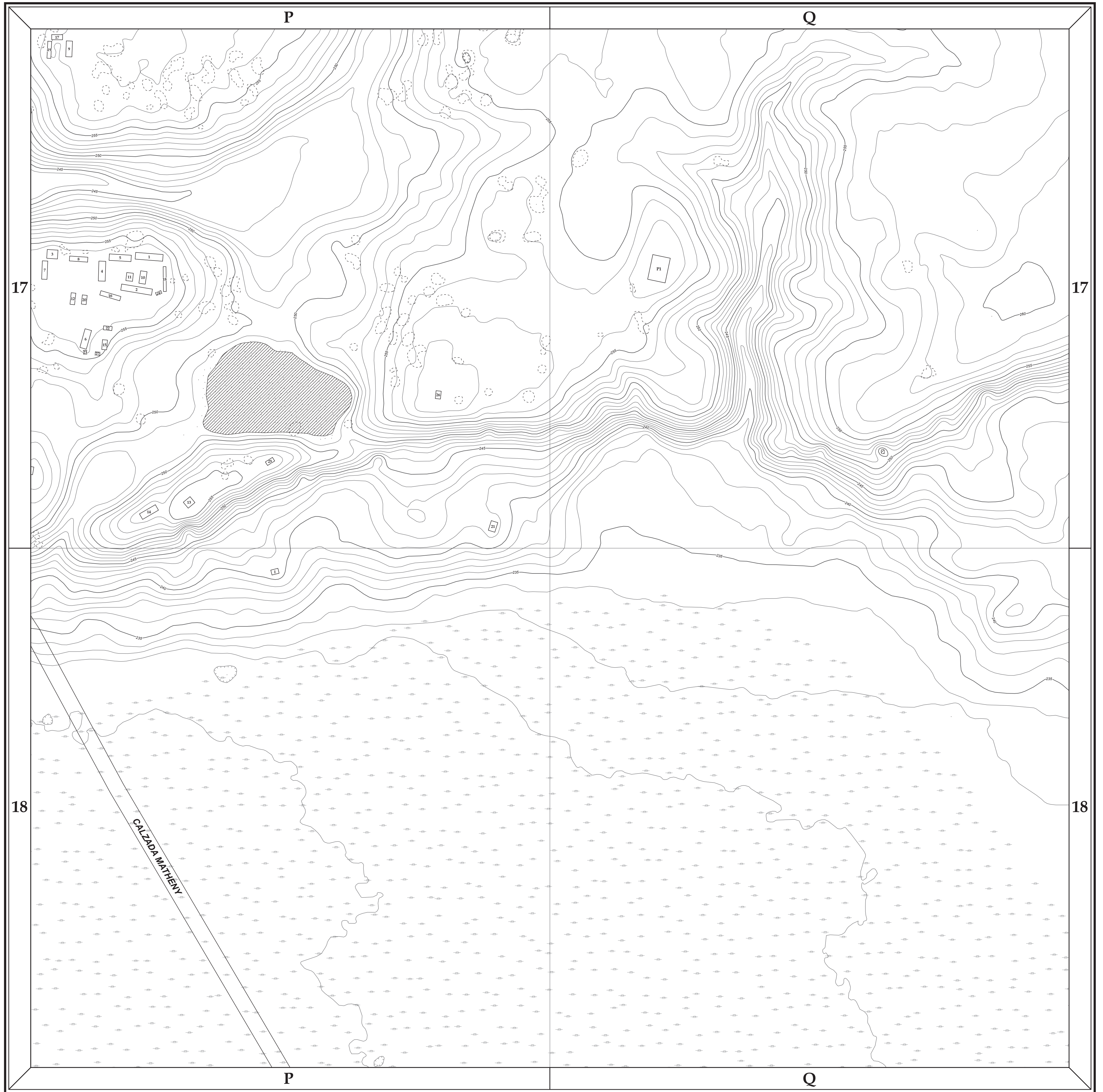


Ubicación de Hoja:

1	2	3	4	5
6	7	8	9	10
11	12	13	14	15
16	17	18	19	20
21	22	23	24	25

Serie 1 : 2,000
Hoja # 24

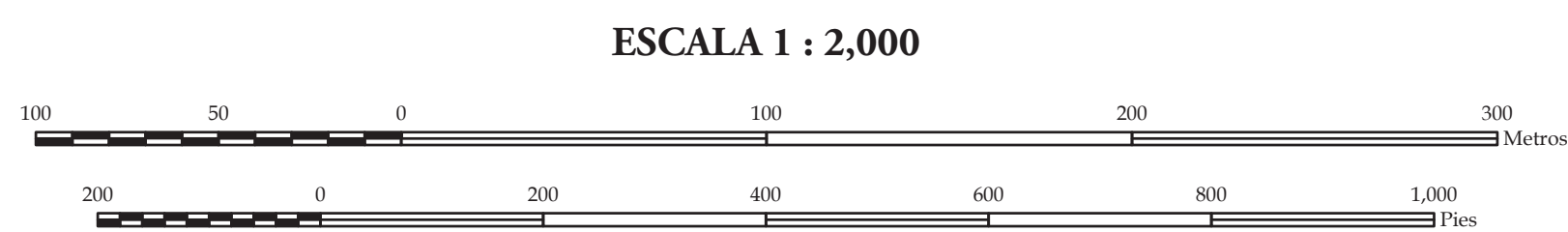
PAET, 2020
ver. 1.2 02/2021
Meoweb.com



Preparado por C. R. Chiriboga con base en trabajos de mapeo topográfico y reconocimiento arqueológico por Iesemeli (2014) y Chiriboga (2015-2019); y análisis de modelo de elevación digital (DEM) LiDAR y derivados por Chiriboga (2017-2020).

Datos LiDAR cortesía de la Iniciativa LiDAR Pacunam (PLD), generados por NCAIM.

SIMBOLOGÍA	
Estructura Moderna	Depresión/Cantera
Estructuras	Bajo
Chultun	Rasgo Hidráulico/Defensivo
Banco de Marca	Curva Índice
Reservorio	Curva Intermedia
Área Inundable	Curva Depresión



INTERVALO DE CURVAS 5 METROS
CURVAS INTERMEDIAS CADA 1 METROS



Ubicación de Hoja:

1	2	3	4	5
6	7	8	9	10
11	12	13	14	15
16	17	18	19	20
21	22	23	24	25

Serie 1 : 2,000
Hoja # 25

PAET, 2020
ver. 1.2 02/2021
Meoweb.com

Proyecto Arqueológico El Tintal (PAET), 2020.

Información Bibliográfica

**Mapa General del Sitio Arqueológico El Tintal
Escala 1:10,000**

Cita Bibliográfica Sugerida:

Chiriboga, Carlos R.

2020 Mapa General del Sitio Arqueológico El Tintal [mapa]. Escala 1:10,000. En *Proyecto Arqueológico El Tintal. Informe No. 6: Resultados de la Sexta Temporada de Investigación, 2019. Anexo Mapas*. Editado por M. J. Acuña y V. Matute. Informe entregado a la Dirección General del Patrimonio Cultural y Natural de Guatemala, Guatemala.

**Mapa del Sitio Arqueológico El Tintal
Escala 1:2,000**

Cita Bibliográfica Sugerida (para Mapa completo):

Chiriboga, Carlos R.

2020 Mapa del Sitio Arqueológico El Tintal [mapa]. Escala 1:2,000. En *Proyecto Arqueológico El Tintal. Informe No. 6: Resultados de la Sexta Temporada de Investigación, 2019. Anexo Mapas*. Editado por M. J. Acuña y V. Matute. Informe entregado a la Dirección General del Patrimonio Cultural y Natural de Guatemala, Guatemala.

Cita Bibliográfica Sugerida (para Hoja específica):

Chiriboga, Carlos R.

2020 Mapa del Sitio Arqueológico El Tintal, Hoja # (*número de hoja*), (*nombre de hoja*) [mapa]. Escala 1:2,000. En *Proyecto Arqueológico El Tintal. Informe No. 6: Resultados de la Sexta Temporada de Investigación, 2019. Anexo Mapas*. Editado por M. J. Acuña y V. Matute. Informe entregado a la Dirección General del Patrimonio Cultural y Natural de Guatemala, Guatemala.